Ⅲ 報

告

時系列分析による感染症の発生予測に関する研究

笹嶋 靡 髙階 光榮

インフルエンザ、水痘、手足口病、流行性耳下腺炎の 4 疾患について、過去17年間の感染症サーベイランス事業で得られた秋田県の定点当りの平均患者発生報告数を基に、時系列分析手法を用いて予測モデルの作成について検討した。その結果、対象とした 4 疾患についての発生予測が可能であり、数期先までは高い精度の予測値が得られることが判明した。なお、インフルエンザについては、病原体ウイルス検出数を説明変数とした多変量 ARIMA 分析でモデル投入効果を検討したが明確な効果は見いだせなかった。

キーワード:感染症、予測、時系列分析、ARIMA

I はじめに

1976年に秋田県において全国に先駆けて実施した「微 生物定点観測」と「患者発生情報収集システム」を柱と する微生物監視体制は、1987年からの国の感染症サーベ イランス事業に継承され全国的な情報収集還元体制が開 始された。また、1987年1月からのコンピュータオンラ イン化により情報の迅速化が図られた。1999年には「感 染症の予防及び感染症の患者に対する医療に関する法律」 の施行によって、感染症発生動向調査事業の法定化が行 われた。その後、2003年11月には狂牛病、SARS、炭疽 菌、トリインフルエンザなどの発生への対応を含めた法 律が一部改正され、新たな感染症の発生に伴う法律上の 整備が行われている。この中で、小児科疾患やインフル エンザ、性感染症などの5類感染症については、蔓延防 止のため常に動向を把握し科学的根拠に基づいた適切な 情報提供が求められており、法律では「国の感染症発生 動向調査の結果等に基づいて、必要な情報を一般国民や 医療関係者に提供・公開していくことによって、発生・ まん延を防止すべき感染症」に分類されている。

このように、感染症発生動向調査では、患者情報や病原体検出情報を基に流行状況を収集解析し、関係機関に対して適切に提供することが基本的な機能である。加えて、今後の流行状況について科学的根拠を伴った情報を確保することも感染症危機管理を含めた予防対策に関連する重要な機能の一つである。

そこで本研究では、現行の 5 類感染症定点把握対象疾患の予防対策支援のために、これまで蓄積されたデータを基にして秋田県の患者発生を予測するための方法について検討した。

Ⅱ 対象と方法

1. 患者データ

対象疾患は、インフルエンザ、水痘、手足口病、流行 性耳下腺炎の4疾患とした。

秋田県内の患者データは、コンピュータオンラインが開始された1987年第1週から2003年第52週までの17年間に指定医療機関(以下、定点)から週別に報告された患者データを1定点当たりの患者報告数(報告数/定点)として集計し、これを「患者発生規模」とした。ただし、1987年第1週~1999年12週の患者データは当初の登録定点数が分母のため、報告例のない医療機関がある場合には実際のデータより小さい値であった。そこで、秋田県感染症情報センターに報告された定点数(以下、実定点数)を分母として再集計し、保健所別・疾病別・週別の時系列データに再構築した。なお、1999年13週以降の患者発生規模については、国の感染症発生動向調査システムは実定点に対応しているためそのまま用いた。

2. 病原体検出データ

インフルエンザについて、1997年~2003年までの秋田 県内の病原体のウイルス検出データを用いた。

3. 解析方法

時系列データは独立でないため通常の回帰分析法の仮定条件を満たさない場合が多い。このため、時間軸上の構造的・周期的変動を考慮した手法が必要であるが、本研究では時系列分析として広く用いられている ARIMA モデル(自己回帰和分移動平均モデル)を用いて検討した。

ARIMAは線形時系列モデルで一般式は次のように表わされる。

 $\phi(B)\Phi(Bs)\omega t = \theta(B)\Theta(Bs)at$ (1) ここで、各演算子は $\phi(B) = 1 - \phi_1 B - \phi_2 B^2 - \cdots - \phi_n B^n$

 $\Phi(B) = 1 - \Phi_1 B^s - \Phi_2 B^{2s} - \cdots - \Phi_s B^{r_s}$

 θ (B) = 1 - θ_1 B - θ_2 B² - · · · · - θ_5 B^q

 $\Theta(B) = 1 - \Theta_1 B^s - \Theta_2 B^{2s} - \cdots - \Theta_0 B^{q_s}$

であるが、(1) 式を要約して次のような表示方法が使用されている。

ARIMA (p, d, q) (P, D, Q)s ここで、パラメータp, d, q, P, D, Qは次のような 意味をもつ。

p:自己回帰過程の階数 P:季節変動自己回帰過程の階数

d: 定常化のための差分階数 D: 季節階差の数

q : 移動平均過程の階数次数 Q:季節移動平均過程の階数

s:季節変動の期間

最も単純なモデルは1階の自己回帰モデルAR(1)と1階の移動平均モデルMA(I)であり、ARMA(1,1)はAR(1)とMA(1)の混合モデルである。また対象データは定常化されている必要がある。定常とは期待値と分散が一定でデータ間で相関をもつことを意味し、これら3つの条件が満たされていなければならない。このため一般的には差分法が適用されている。

また、ARIMA(1, 1, 1)は原時系列に差分1(非季節階差1)を施した ARMAを示し、ARIMA(1, 1, 1)(1, 1, 1)52は、原時系列に差分1(非季節階差1)と季節差分1(季節差分階差1)を施した ARMA(1, 1)(1, 1)モデルを示す。なお、各モデルの確率過程の一般項は次のとおりである。

ARモデルの一般項

$$Z t = \phi_1 Z_{i-1} + \phi_2 Z_{i-2} + \cdot \cdot \cdot + a_i$$
 (2)

・ARMAモデルの一般項

 $Z t = \phi_1 Z_{1-1} + \phi_2 Z_{1-2} + \cdot \cdot \cdot$

$$+ \phi_{p} Z_{t-P} + a t - \theta_{1} a_{t-1} - \theta_{2} Z_{t-2} - \theta_{p} Z_{t-P}$$
 (3)

ARIMA モデルの解析は、SPSS 12.0J for windows Trends、及び Decision Time 1.0J (以下、DT) を用い、①定常化と周期分析、②モデル同定、③モデル診断、④予測モデルの手順で行った。

Ⅲ 結 果

1. 患者データ

図1-1から図1-4に、実定点データで再集計した 秋田県の週別患者発生規模のデータを折れ線グラフで示 した。

2. 病原体検出データ

表1に、1997年1月~2003年12月までの、インフルエンザウイルス月別検出数を示した。

3. 時系列解析結果

- 1) インフルエンザ
 - (1) 定常化と周期分析

インフルエンザの1987年から2003年の患者発生データは、図1-1に示したように毎年冬季に発生規模が増加するパターンを示したが明確な長期トレンドは確認できなかった。周期分析の結果は、図2-1に示したように52週のピリオドグラムが最大で、次いで26週であった。つまり、現時系列の周期は52週(1年)であった。

(2) モデルの同定

原時系列の自己相関関数(以下 ACF)と偏自己相関関数(以下 PACF)は、図 2-2 と図 2-3 に示したように、共に指数的減衰パターンが観察された。これらの結果を基に DT を用いてパラメータを分析した結果、表 2-1 に示したとおり最終モデルとして ARIMA(1, 0, 2)(1, 0, 1)52が得られた。(3)モデルの診断

モデル診断のための適合度統計量としては、 Trendsで計算される赤池情報量基準(以下、AIC)、 Schwartzの Bayesian 基準(以下、SBC)を用い、 モデル診断指標としては Box-Ljung 統計量の P値 が0.05以上であること(残差がホワイトノイズであ る仮説が棄却されないこと)を指標とした。

Ljung-Box 統計量のP値は、表 2 - 2 に示したようにラグ16までが0.05以上で、この期間までのモデル 残差がホワイトノイズである仮説は棄却されなかった。

(4) 予測モデル

これらの結果から、予測モデルは次のとおりであっ た。

 $(1 - 0.631 \,\mathrm{B}) (1 - 0.996 \,\mathrm{B}^{52}) \,\mathrm{Z}_{2} = (1 + 0.531 \,\mathrm{B} + 0.217 \,\mathrm{B}^{2}) (1 - 0.959 \,\mathrm{B}^{52}) \,\mathrm{at}$

図 2-4 に観測値と適合値をプロットしたグラフを、図 2-5 に1993年13週~2004年52週までの予測値を加えたものをプロットしたグラフを示した。予測期間は 1 周期の52週分としたが、ARIMA の特性から予測期間が長いほど予測値の信頼幅が大きくなるため、4 期先くらいまでが実用的な予測値であった

(5) 病原体ウイルス検出データによる多変量 ARIMA インフルエンザの主な原因ウイルスはAソ連型、 A香港型、B型の3種類に分類される。そこで、これらのウイルス検出データを用いた多変量 ARIMA モデルについて検討した。

前段として各ウイルスの検出数の周期について分 析したところ、3種類のウイルス検出数の周期は、 図2-6、図2-7、図2-8に示したとおりいず れも52週であった。表 2 - 3には1997年から2003年 までの期間についてのこれまでと同様の ARIMA (単変量 ARIMA) 分析をした結果を、表 2 - 4 に はウイルス検出数を説明変数とした多変量 ARIMA 分析結果を示した。AIC と SBC を比較すると、共 に単変量 ARIMA に比べて多変量 ARIMA の値が 小さく、ウイルス検出数を独立変数に導入すること でわずかに予測精度が向上したものの、実用的効果 が期待できる程ではなかった。

2) 水痘

(1) 定常化と周期分析

水痘の1987年から2003年の患者発生データは、図 1-2に示したように1987年から1988年にかけて長 期減少トレンドが観察された。これは、水痘の主な 罹患年齢である0~5歳人口の減少を反映している ものと推測された。また、年変動が著しくスペクト ル分析の結果、図3-1に示したように26週と52週 の周期が認められたが、これをグラフで観察すると 第1週から第26週間でのAパターンと27週以降52週 までのBのパターンに分類された。そこで、周期26 週と周期52の2つのパターンについて分析を行った。 また、図3-2と図3-3に示したように、原時系 列の ACF は直線的減衰パターンで、PACF はラグ 2まで大きな値で、その後ラグ6までStandard error (標準誤差) 範囲を超えた。ACF パターンは 季節変動が考えられることを示したため季節階差1 に非季節性階差1を追加して分析した。結果は図3-4と図3-5に示すように ACF はラグ3まで大き な値を示した。

(2) モデルの同定

原時系列の周期を26として DT により ARIMA (0, 1, 3)(1, 0, 1) 26が選択された。この結果に基 づいて、Trendsで分析した結果は表3-1に示し たように、AIC は1626、SBC は1654であった。ま た、原時系列の周期を52とした結果ARIMA(0,1,3) (0, 1, 1) 52が選択され、AIC は1545、SBC は1568 であった。モデルは AIC、SBC が小さい方が優れ たモデルであることから、これらを基にDTでパラ メータを分析した結果、表3-2に示したように最 終モデルとしては、ARIMA(0,1,3)(0,1,1)52 が選択された。

(3) モデルの診断結果

ARIMA (0, 1, 3)(0, 1, 1) 52母自己相関係数の

検定のための Box-Ljung 統計量の P 値は、図3-6 に示したようにラグ10までが0.05以上で、この期 間までのモデル残差がホワイトノイズである仮説は 棄却されなかった。

(4) 予測モデル

以上の結果より予測モデルは次のとおりであった。 $\nabla \nabla_{52} Z_1 = (1 - 0.713B + 0.277B^2 - 0.198B^3) (1 -$ 0.803 B⁵²) at

図 3 - 7に1987年~2003年までの観測値に対する モデルの適合値、図3-8に1993年13週~2004年52 週までの予測値を含めたグラフを示した。

3) 手足口病

(1) 定常化と周期分析

手足口病の1987年から2003年の患者発生データは、 図1-3に示したように年別の発生規模に差がみら れた。スペクトル分析によって、図4-1に示した ように最大周期は52週であった。

(2) モデルの同定

図 4 - 2 と図 4 - 3 に示した ACF 及び PACF の結果を参考にモデルの階差と次数を決定した。 PACF がラグ1で切れているが ACF が直線的に減 少しているためデータが定常化されていないと判断 された。定常化した非季節階差1のデータを図4-4と図4-5に示した。それらの結果を基にDTに よりパラメータを分析した結果、表4-1に示した ように ARIMA (0, 1, 5)(1, 0, 1) 52が選択された。

(3) モデルの診断

Trends でモデル診断の結果は、図4-6に示し たように、Box-Ljung 統計量のP値はラグ16まで 0.05以上で、この期間までのモデル残差がホワイト ノイズである仮説は棄却されなかった。

(4) 予測モデル

以上の結果から表4-1の同定結果が採用され、 予測モデルは次のとおりであった。

 $(1 - 0.982 \,\mathrm{B}_{52}) \,\,\nabla Z_{1} = (1 + 0.019 \,\mathrm{B} + 0.125 \,\mathrm{B}^{2} +$ $0.130 \,\mathrm{B}^3 + 0.097 \,\mathrm{B}^4 - 0.122 \,\mathrm{B}^5) (1 - 0.945 \,\mathrm{B}^{52})$ at

図 4-7に1987年~2003年までの観測値に対する モデルの適合値を、図4-8に1993年13週~2004年 52週までの予測値を含めたグラフを示した。

4)流行性耳下腺炎

(1) 定常化と周期分析

流行性耳下腺炎の1987年から2003年の患者発生規 模は、図1-4に示したように年変動が明確でなかっ たが、スペクトル分析の結果、図5-1に示したよ うに最大のピリオドグラムを示す期間は104週、次 いで52週、26週の順であった。そこで、周期26週、 52週、104週について分析した。

図5-2と図5-3に示したように、原時系列のACF は直線的減少を示し PACF はラグ3まで大きい値を示した。周期26系列の非季節階差1のACF と PACF を図5-4と図5-5に、周期52系列の非季節階差1のACF と PACF を図5-6と図5-7に示したが、周期による違いはみられなかった (2) モデルの同定

これらの結果を基に DT を用いてパラメータ分析を行った結果、非季節階差 1 で周期26系列と周期52 系列、周期104系列の3種類が得られた。このうち、周期26系列と周期52系列及び周期104系列についてのモデル同定結果を表 5-1、表 5-2、表 5-3 に示した。適合度統計量の AIC と SBC は周期52系列の値が最小のため、モデルとして ARIMA (2,2,1) (1,0,1) 52が選択された。

(3) モデルの診断

Ljung-Box 統計量の P値は、図 5 - 8 に示した ようにラグ16までが0.05以上で、この期間までのモ デル残差がホワイトノイズである仮説は棄却されな かった。

(4) 予測モデル

以上の結果から予測モデルは次のとおりであった。 (1+0.959 B+0.383B²)(1-0.969 B⁵²)▽Z t = (1+0.317B)(1-0.917B⁵²) at

図 4 - 9 に1987年~2003年までの観測値に対する モデルの適合値を、図 4 - 10に1993年13週~2004年 52週までの予測値を含めたグラフを示した。

IV 考 察

感染症の患者データ解析についての幾つかの報告リールが見られるものの、スペクトル分析を用いたものが多い。感染症は、一般に感染源、感染経路、感受性保有者の要因等により発生し、呼吸器系感染症においては感受性保有者が感染源と間接接触により感染するり。このことから、一部の施設などの感受性保有率がわかっている局在的流行に関してはReed-Frost モデルなどが適しているが、広域的発生に拡張するためには非決定論的モデルを確立する必要がある。このようなことから、観測データによるスペクトル分析などが用いられていると考えられる。

予測モデルに関して、沖らむは気象データを用いた対数線形モデルを検討している。また、長谷川らむは過去データにスペクトル解析結果を当てはめて長期的傾向を求めているが、基本理論は CDC で採用し当所で運用してきた CPEG(Current-Past Experience Graph)と同様である。しかし、CPEG は過去の同時期の平均、標準偏差、標準化変数を指標としていることから、長期ト

レンドや異常値の扱いに検討の余地が残されている。

本研究で用いた ARIMA 時系列モデルは、Box と Jenkins によって構築され⁵⁷、自己回帰と移動平均の理論を基礎としている。Allard R ら⁶⁷⁻⁶⁹ は感染症の予測解析に ARIMA や SARIMA (季節変動を考慮した ARIMA)が有効であることを報告している。本研究では、5 類感染症の定点把握対象疾患のうち、①広域的流行が毎年繰り返され複数の病原体が検出される疾患としてインフルエンザ、②年間を通して発生がみられ季節的な変動パターンを示す水痘、③比較的狭い地域に限られ病原体が1 種類の疾患として流行性耳下腺炎、の4疾患についての発生予測モデルについて検討した。その結果、4 疾患について ARIMA モデルを適用によって秋田県の週別平均患者発生規模の予測が可能であると考えられた。

インフルエンザについては、Aソ連型・A香港型・B型のウイルス検出データが多く収集されていることから、独立変数に組み込んで多変量 ARIMA モデルを試みた。しかし、用いたデータでは患者発生モデルに対する効果は充分ではなかった。これは、各シーズンにおいて単独ウイルスによる発生はほとんどみられず、複数のウイルスによる発生の多いことが原因と推察された。予測モデルの評価としては、ARIMA モデルで決定されたパラメータによって1周期までは予測が可能である。しかし予測値の信頼限界は予測期間が長ければ大きくなるため、実用的な精度の比較的高い期間はモデルの自己回帰や移動平均の次数を考慮して3週から5週先までである。ただし、県内の平均患者発生規模データが得られた時点でモデルに追加する逐次予測法によって、その時点からの予測が可能となる。

また、本研究で採用したモデルは線形時系列モデルであり、データ内部構造を自己回帰と移動平均によって解析し適合させる理論である。非線形時系列モデルとの比較検討については、今後の課題としたい。

Vまとめ

インフルエンザ、水痘、手足口病、流行性耳下腺炎の 4疾患について、線形時系列モデルの一つである ARIMA モデルを用いて患者発生予測モデルの作成を検討し、い ずれの疾患についても ARIMA モデルによる発生予測 が可能であることを明らかにした。ただし、インフルエ ンザウイルス検出データのモデルへの組込効果を検討し たが明確な効果は見いだせなかった。

ARIMA モデルでは、自己回帰や移動平均の次数が 1~3 であるため、現時点から数期先までは精度高く予測できることが明らかになった。今回作成したモデルに

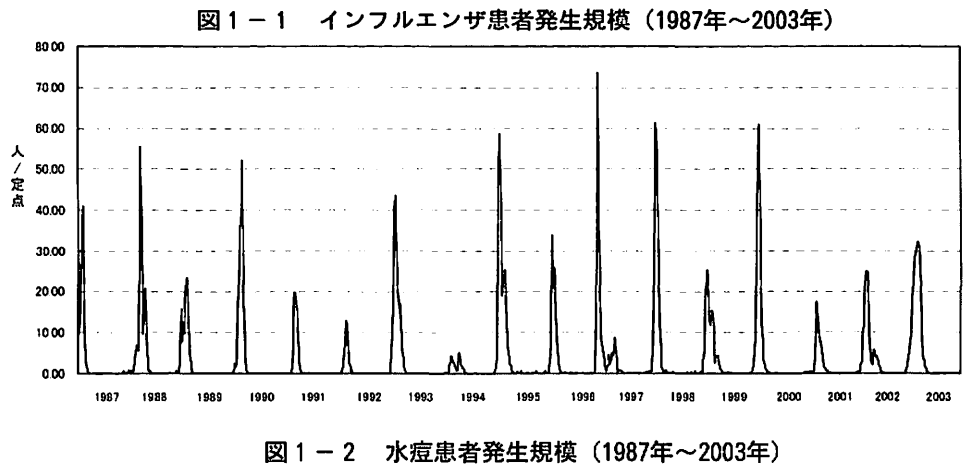
よって、 $3\sim5$ 期先まで精度の高い予測データが求められるので、感染症情報センターにおける患者の発生予測解析においてもその目的を十分に達成できると考えられた。

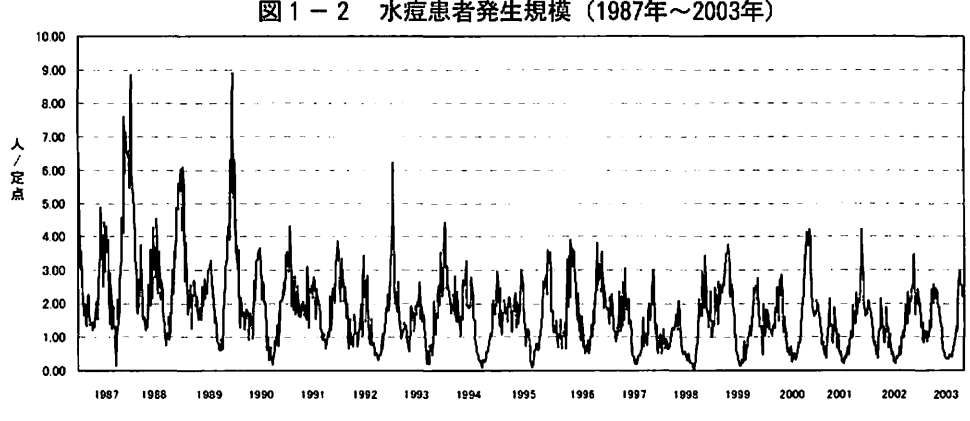
文 献

- 1) 沖 典男,他.スペクトル解析による感染症流行の 周期特性,兵庫県衛生研究所研究報告,29;1994:1-7.
- 2) 長谷川信作,他.感染症発生動向調査情報の迅速還元と流行予測.情報処理学会論文誌,1999;40:132-140.
- 3) 沖 典男,他.感染症サーベイランス患者発生予測 の検討,兵庫県衛生研究所研究報告,33;1998:81-86
- 4) 坂本州弘, 疫学と疫学モデル. 金芳堂, 1985; 255-289.
- 5) W. Vandeer著(養谷千凰彦・他訳)、時系列入門 ボックスージェンキンスモデルの応用、東京都、多賀

出版. 1988.

- 6) Allard R. Use of time-series analysis in infectious disease surveillance. Billetin of the World Health Organization 1998; 76: 327-333.
- 7) G. David Williamson Ginner, Weatherby Hudson. A monitoring system for detecting aberrations in public health surveillance reports. Statistics in Medicine 1999; 18: 3283-3298.
- 8) Flavio Fonseca Nobre, Ana Beatriz Soares Monterio, Paulo Roberto Tellers, and G. David Williamson. Dynamic linear model and SARIMA: a comparison of their forecasting performance in epidemiology. Statistics in Medicine 2001; 20: 3051-3069.
- 9) Maarten J. Postma, Dirk Ruwaard, and Hans(J.) C. Jager, Projecting utilization of hospital in-patient days in The Netherlands: A time series analysis. Journal of Mathmatics Applied in Medicine & Biology 12, 185-202.





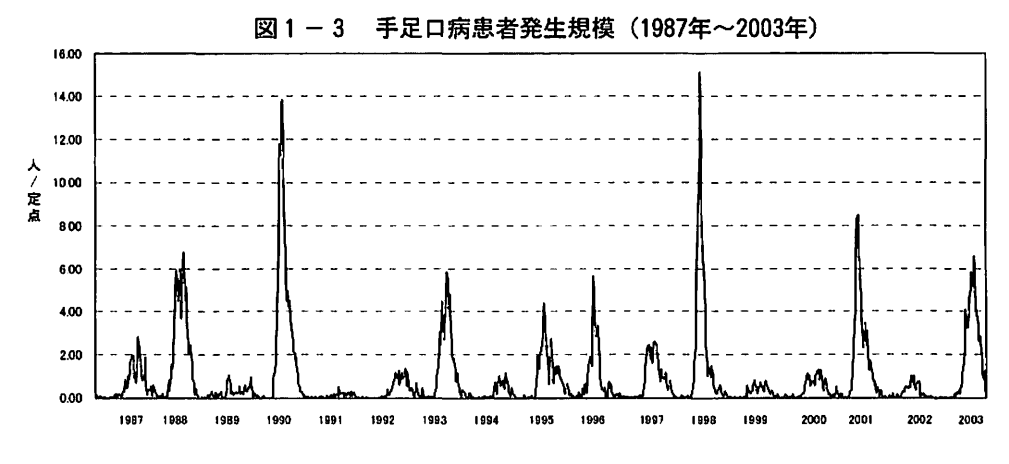




表 1 インフルエンザウイルス月別検出数 (秋田県:1997年-2003年)

		20.1				× (1/1)		1007 2001			
年	月	FluA H1	FluA H3	FluB	総計	年	月	FluA H1	FluA H3	FluB	_総計_
1997	1		34		34	2000	7				0
1997	2		4	6	10	2000	8				0
1997	3		2	22	24	2000	9				0
1997	4		1	36	37	2000	10				0
1997	5			13	13	2000	11	_			0
1997	6			1	1	2000	12				0
1997	7				0	2001	1				0
1997	8	·			0	2001	2	5	4	7	16
1997	9				0	2001	3	2		6	8
1997	10				0	2001	4	6	6_	19	31
1997	11				0	2001	5	1	_	1	2
1997	12				0	2001	6		_		0
1998	1	2	47		49	2001	7				0
1998	2		49		49	2001	8				0
1998	3		_ 2		2	2001	9				0
1998	4			1	1	2001	10				0
1998	5				0	2001	11				0
1998	6				0	2001	12				0
1998	7				0	2002	1	15	17		32
1998	8				0	2002	2	29	35		64
1998	9				0	2002	3	12	33	2	47
1998	10				0	2002	4		1	15	16
1998	11				0	2002	5		1	6	7
1998	12		1	1	2	2002	6				0
1999	1		107		107	2002	7				0
1999	2		55	15	70	2002	8				0
1999	3		7	46	53	2002	9				0
1999	4				0	2002	10				0
1999	5				0	2002	11				0
1999	6				0	2002	12		2	1	3
1999	7				0	2003	1		15	7	22
1999	8				0	2003	2		13	18	31
1999	9				0	2003	3		2	13	15
1999	10				0	2003	4				0
1999	11				0	2003	5	-			0
1999	12				0	2003	6		_		0
2000	1	10	55		65	2003	7				0
2000	2	12	8		20	2003	8		_	-	0
2000	3	11	1		12	2003	9				0
2000	4	1	1		2	2003	10				0
2000	5	1			1	2003	11				
2000	6				0	2003	12				0
Flux LI 1				1-1-350				I			

FluA H1:インフルエンザウイルスAソ連型 FluA H3:インフルエンザウイルスA香港型 FluB :インフルエンザウイルスB型

図2-1 ピリオドグラム (インフルエンザ)

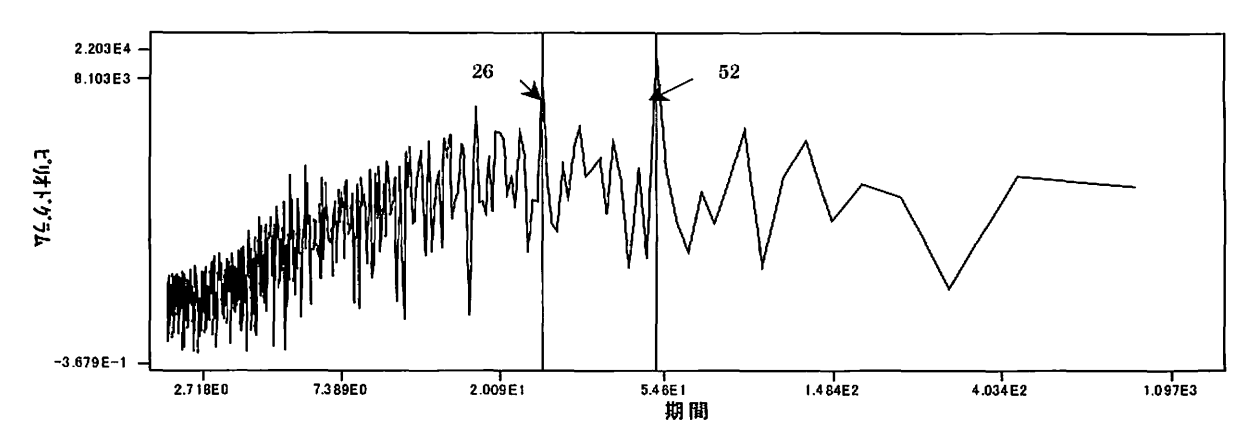


図 2 - 2 ACF (インフルエンザ)

_ag	Corr.	Err.	-1 75 5 25 (. 25 . 5 . 75 1	Box-Ljung	Prob.
						
1	. 869	. 034	•	*****	670. 308	. 000
2	. 658	. 034		, ********	1054. 786	. 000
3	. 464	. 034		. *****	1246, 217	. 000
4	. 322	. 034		.****	1338. 337	. 000
5	. 212	. 034		. ***	1378. 209	. 000
6	. 117	. 033	•	.*	1390. 401	. 000
7	. 034	. 033		*	1391. 406	. 000
8	027	. 033	*	•	1392. 038	. 000
9	063	. 033	*	•	1395. 617	. 000
10	086	. 033	*.	•	1402. 234	. 000
11	- . 101	. 033	*.		1411. 391	. 000
12	 114	. 033	*.		1422. 972	. 000
13	 122	. 033	*.		1436. 281	. 000
14	127	. 033	**.		1450, 738	. 000
15	130	. 033	**.		1465. 926	. 000
16	- . 131	. 033	**.		1481. 334	. 000
Plot	Symbols	s:	Autocorrelations *	Two Standard Error	Limits .	

図2-3 PACF (インフルエンザ)

```
Lag Corr. Err. -1 -.75 -.5 -.25 0 .25 .5 .75 1
  1 .869
            . 034
  2 -. 400
           . 034
                             , solokskolok
  3 . 053
           . 034
  4 . 032
           . 034
                                    . |*
  5 -. 070
           . 034
                                    *|.
  6 -. 047
           . 034
                                    *|.
  7 -. 038
           . 034
  8 .011
            . 034
  9 -. 014
           . 034
 10 -. 029
           . 034
 11 -. 013
           . 034
 12 -. 029 . 034
 13 -. 013 . 034
                                    . *.
 14 -. 027 . 034
                                    *|.
 15 -. 022 . 034
                                    . *.
 16 -. 015 . 034
                                    . *.
Plot Symbols:
                  Autocorrelations * Two Standard Error Limits.
```

表 2 - 1 ARIMA モデル同定結果(インフルエンザ)

FINAL PARAM										
Standard er	ror 3. S	3. 9489649								
Log likelih	100d -24	-2489. 6842								
AIC	499	4991. 3683								
SBC	502	5020. 075								
	Analysis	of Variance:								
	DF Adj.	Sum of Squa	res Residua	al Variance						
Residuals	878	14446.	882	15. 594324						
	Variables in	Aba Nadali								
			T 01710	ADDDOV DDOD						
	В	SEB	T-RAT10	APPROX. PROB.						
AR1	. 6313721	. 0382741	16. 496063	. 00000000						
MA1	5307369	. 0457902	-11. 590629	. 00000000						
MA2	2168111	. 0421564	-5. 143024	. 00000033						
SAR1	. 9955605	. 0194255	51. 250197	. 00000000						
01144	. 9591153	. 0904095	10. 608564	. 00000000						
SMA1			2, 884602	. 00401496						

表 2 - 2 モデル診断結果(インフルエンザ)

	Auto- S	Stand.			
Lag	Corr.	Err.	-1 75 5 25 0 . 25 . 5 . 79	5 1 Box-Ljung	Prob.
1	. 006	. 034	.*.	. 037	. 847
2	. 006	. 034	. *.	. 065	. 968
3	. 017	. 034	. *.	. 331	. 954
4	 023	. 034	.*.	. 791	. 940
5	−. 017	. 034	.*.	1. 051	. 958
6	011	. 033	.*.	1. 156	. 979
7	051	. 033	* .	3. 448	. 841
8	031	. 033	* i	4. 316	. 828
9	 010	. 033	.*.	4. 412	. 882
10	017	. 033	. *.	4. 665	. 912
11	024	. 033	. * .	5. 184	. 922
12	025	. 033	. *.	5. 728	. 929
13	005	. 033	. *.	5. 752	. 955
14	. 002	. 033	. *.	5. 755	. 972
15	011	. 033	. *.	5. 866	. 982
16	020	. 033	.*.	6. 220	. 986

図2-4 観測値とモデル適合値の比較グラフ(インフルエンザ)

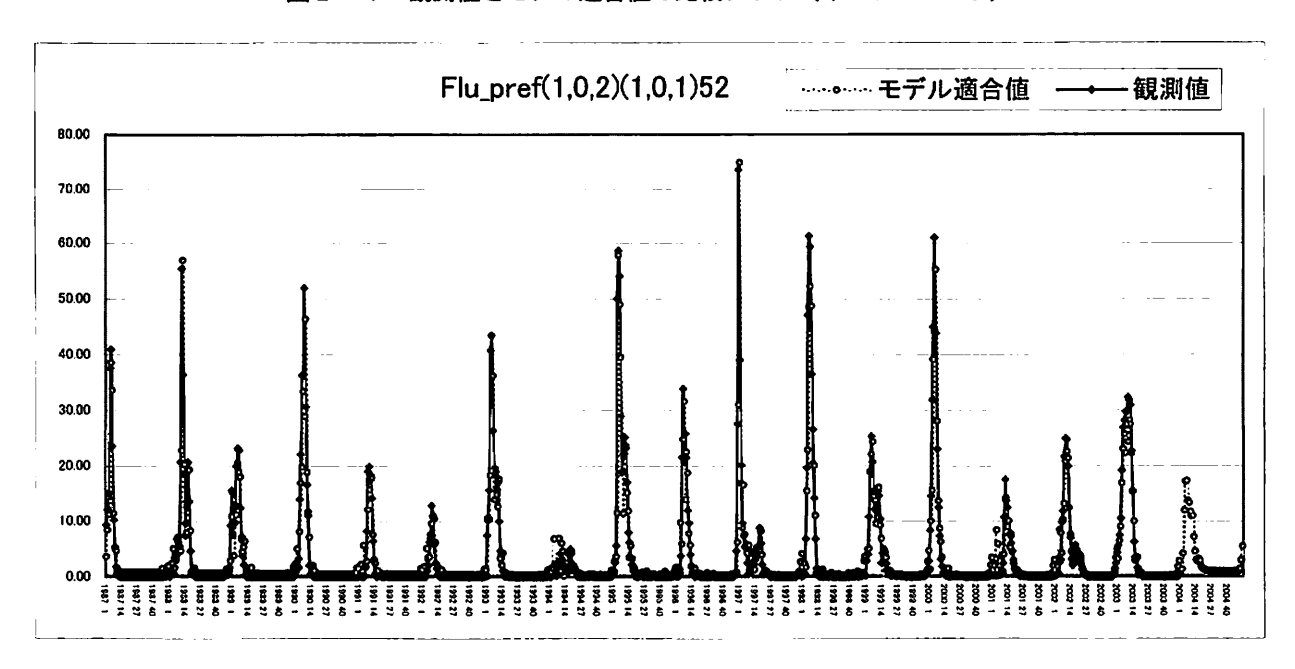


図 2-5 観測値・モデル適合値・52週先までの予測値(インフルエンザ)

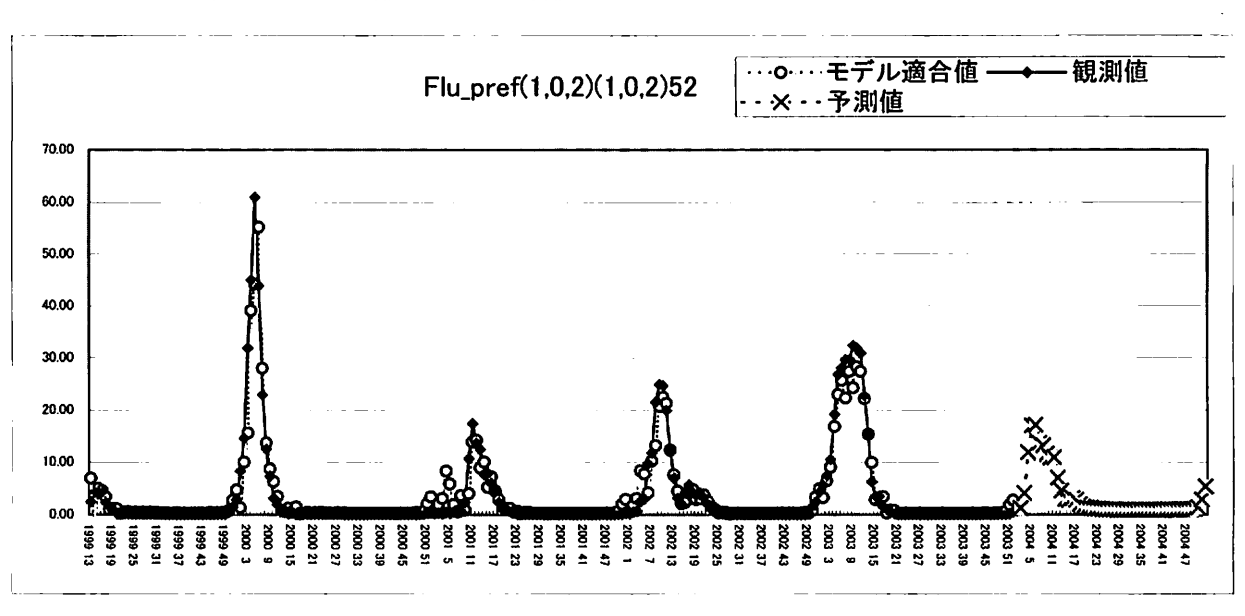
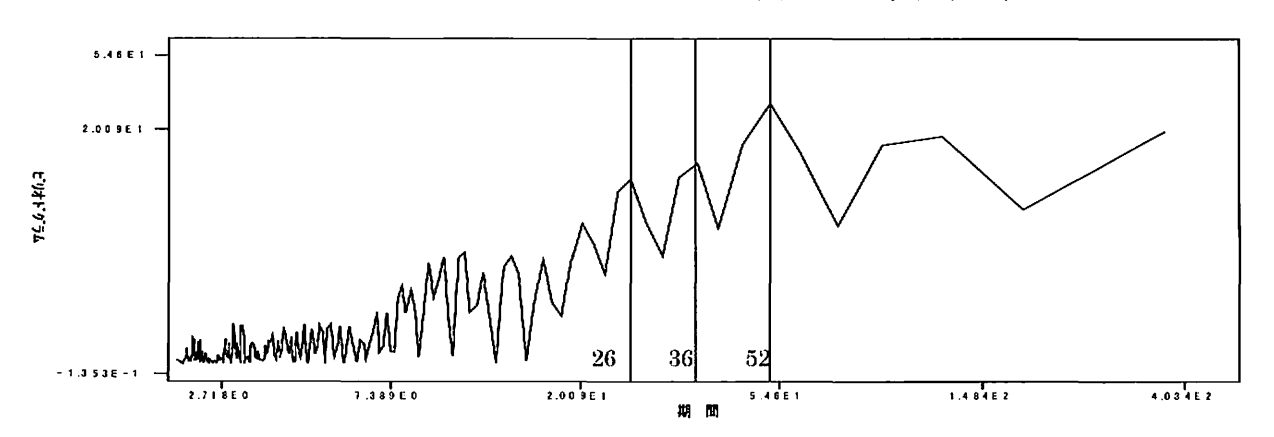
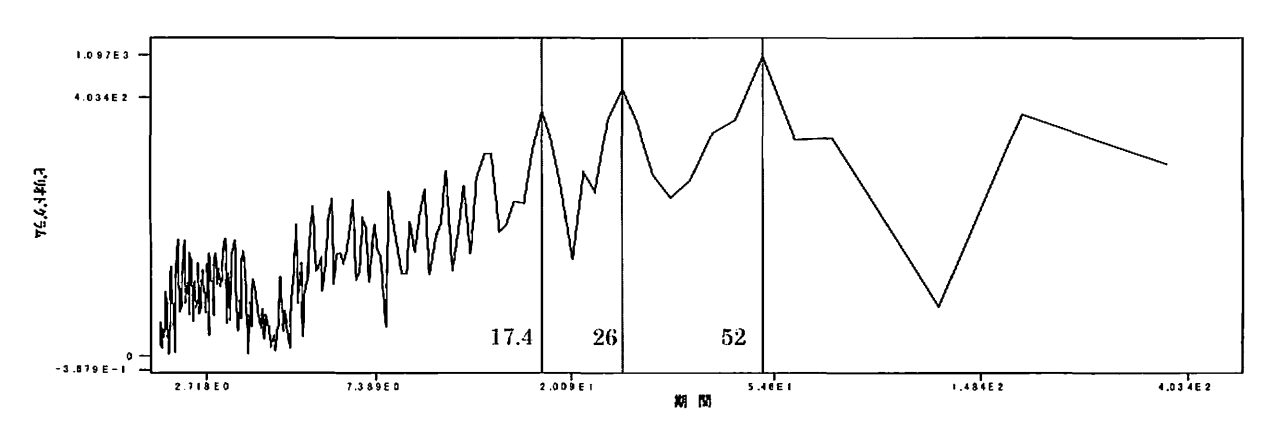


図2-6 インフルエンザウイルスAソ連型検出データ周期分析結果



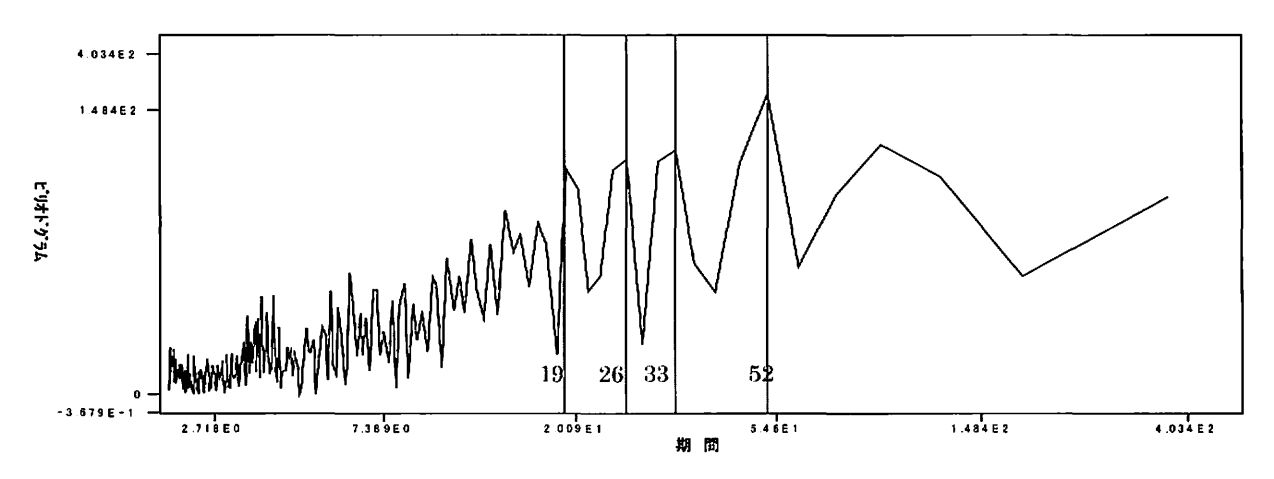
インフルエンザウイルスAソ連型のピリオドグラムは52週が最大で、以下36週、26週の順であった。

図2-7 インフルエンザウイルスA香港型検出データ周期分析結果



インフルエンザウイルスA香港型のピリオドグラムは52週が最大で、以下26週、17.4週の順であった。

図2-8 インフルエンザウイルスB型検出データ周期分析結果



インフルエンザウイルスB型のピリオドグラムは52週が最大で、以下33週、26週、19週の順であった。

表 2 - 3 単変量 ARIMA (インフルエンザ)

FINAL PARAMETERS: Number of residuals 364 Standard error 2.7191028 -880.05065 Log likelihood AIC 1772. 1013 SBC 1795. 4842 DF Adj. Sum of Squares Residual Variance Residuals 358 2683.0658 7. 3935199 Variables in the Model: В SEB T-RAT10 APPROX. PROB. . 8012052 . 0361443 22. 166835 AR1 . 00000000 MA1 . 0470905 -. 8431835 -17. 905587 .00000000 MA2 -. 5562727 . 0475287 -11.703938 .00000000 SAR1 . 6053040 . 3030081 1.997650 . 04651095 SMA1 . 4903341 . 3293815 1.488651 . 13745959 . 01987803 CONSTANT 4. 7649236 2. 0370485 2. 339131

1)独立変数:週別定点当り平均患者発生報告数

2)分析期間:1997年から2003年

表 2 - 4 多変量 ARIMA (インフルエンザ)

FINAL PA	RAMETERS:				
Number of	residuals 36	3			
Standard e	rror 2.	6718407			
Log likeli	hood –8	70. 8473			
AIC	17	59. 6946			
SBC	17	94. 7442			
	DF Adj.	Sum of Square	res Residua	al Variance	
Residuals	354	2577. 48	319	7. 1387325	
	Variables in	the Model:			
	В	SEB	T-RATIO	APPROX. PROB.	
AR1	. 7964157	. 0365320	21. 800467	. 00000000	
MA1	8735450	. 0471876	-18. 512176	. 00000000	
MA2	5693470	. 0470706	-12. 095592	. 00000000	
SAR1	. 5357578	. 2681855	1. 997713	. 04651256	
SMA1	. 3876733	. 2913275	1. 330713	. 18413987	
Aソ連型	. 4357429	. 2197946	1. 982501	. 04819599	
A香港型	. 0977759	. 0423891	2. 306626	. 02165251	
B型	2438453	. 1159564	-2. 102905	. 03617961	
CONSTANT	4. 7021982	2. 0475441	2. 296506	. 02223040	

1)独立変数:週別定点当り平均患者発生報告数、インフルエンザウイルスAソ連型検出数、同A香港型検出数、同B型検出数

2)分析期間:1997年から2003年

図3-1 ピリオドグラム (水痘)

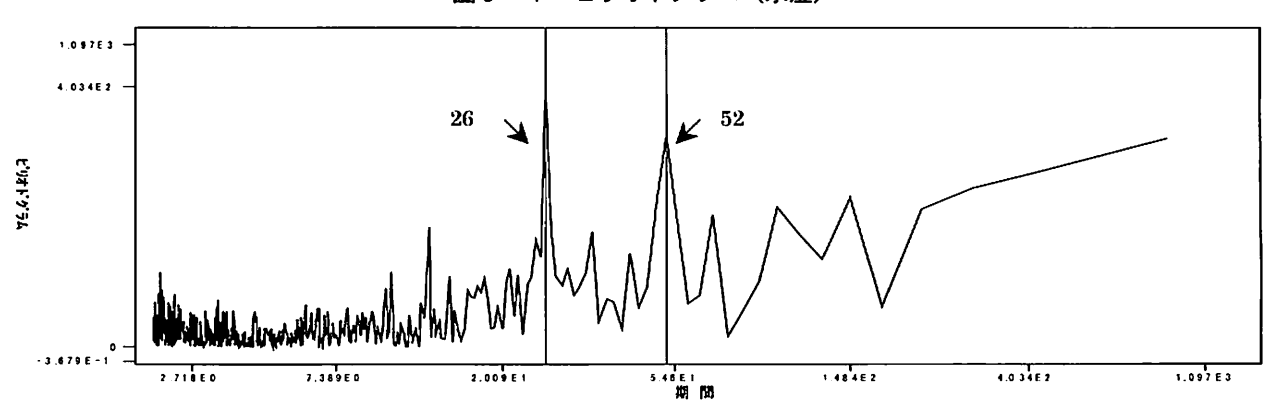


図3-2 ACF(水痘)

Lag	Corr.	Err.	-1 75 - ₁ 5 25 (. 25 . 5 . 75 1	Box-Ljung	Prob.
1	. 808	. 034		****	578. 417	. 000
2	. 802	. 034		*******	1149, 486	. 000
3	. 685	. 034		· ****	1566. 873	. 000
4	. 603	. 034		, **********	1891, 003	. 000
5	. 491	. 034		****	2106, 053	. 000
6	. 387	. 033		, sototototok	2239. 737	. 000
7	. 292	. 033		, xotototek	2315. 799	. 000
8	. 168	. 033		. **	2340, 999	. 000
9	. 082	. 033		.*	2346, 992	. 000
10	001	. 033			2346, 993	. 000
11	064	. 033	*	•	2350. 622	. 000
12	119	. 033	*.	•	2363. 260	. 000
13	130	. 033	**.	•	2378. 436	. 000
14	152	. 033	**.	•	2399, 138	. 000
15	140	. 033	**.		2416. 825	. 000
16	 123	. 033	*.		2430. 528	. 000

図3-3 PACF (水痘)

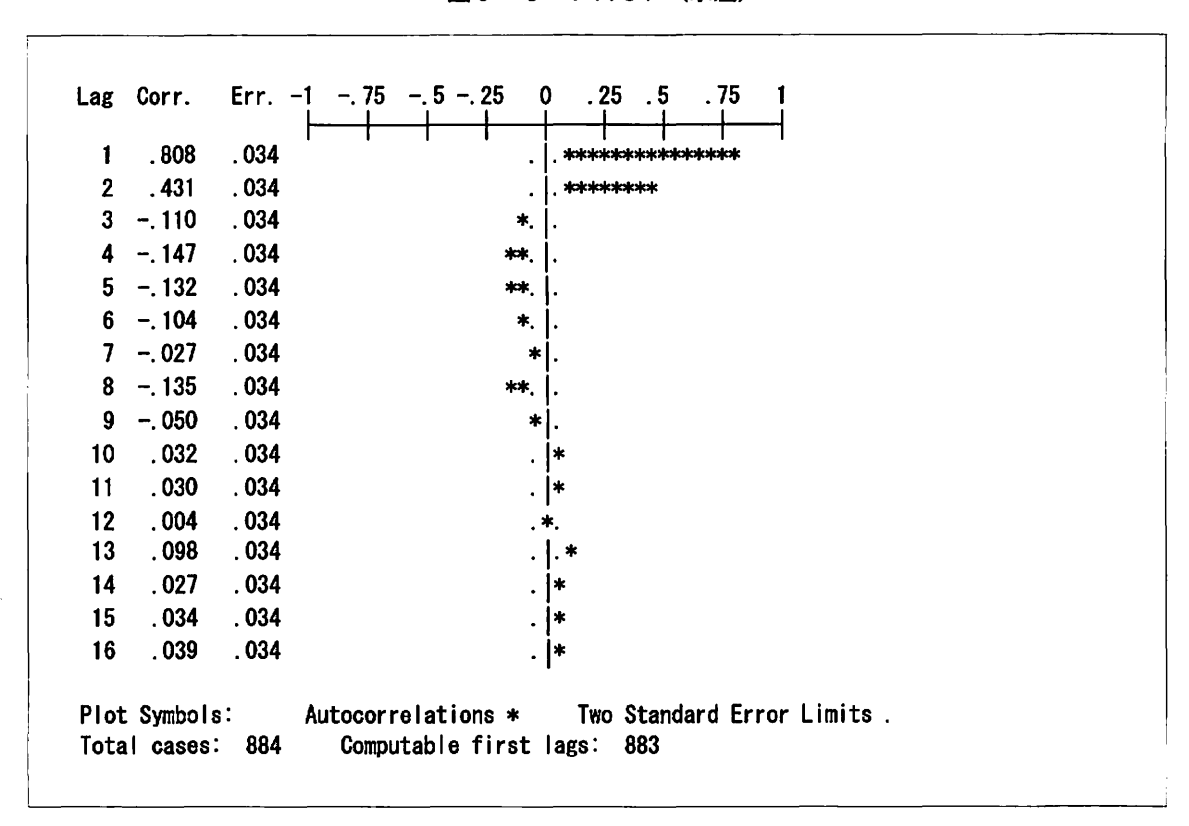


図3-4 非季節階差1+季節階差1のACF(水痘)

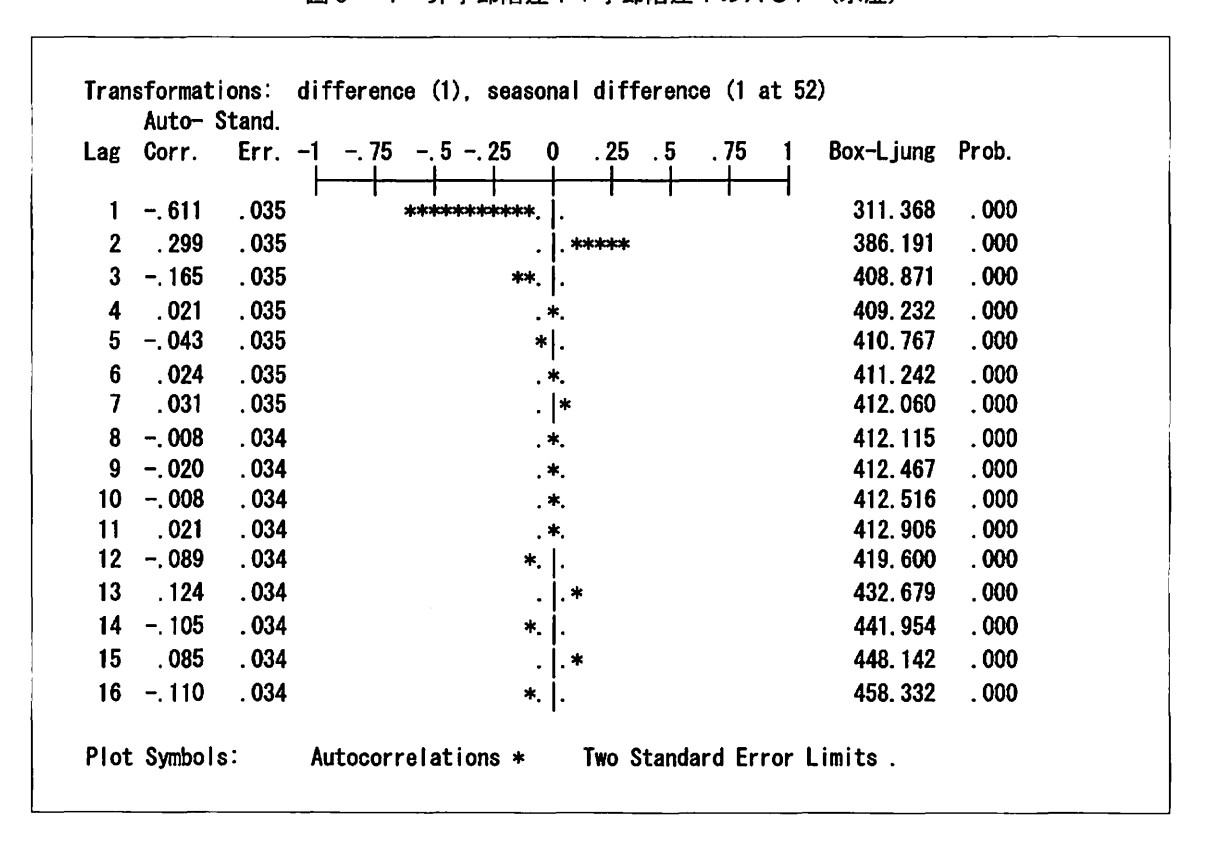


図3-5 非季節階差1+季節階差1のPACF (水痘)

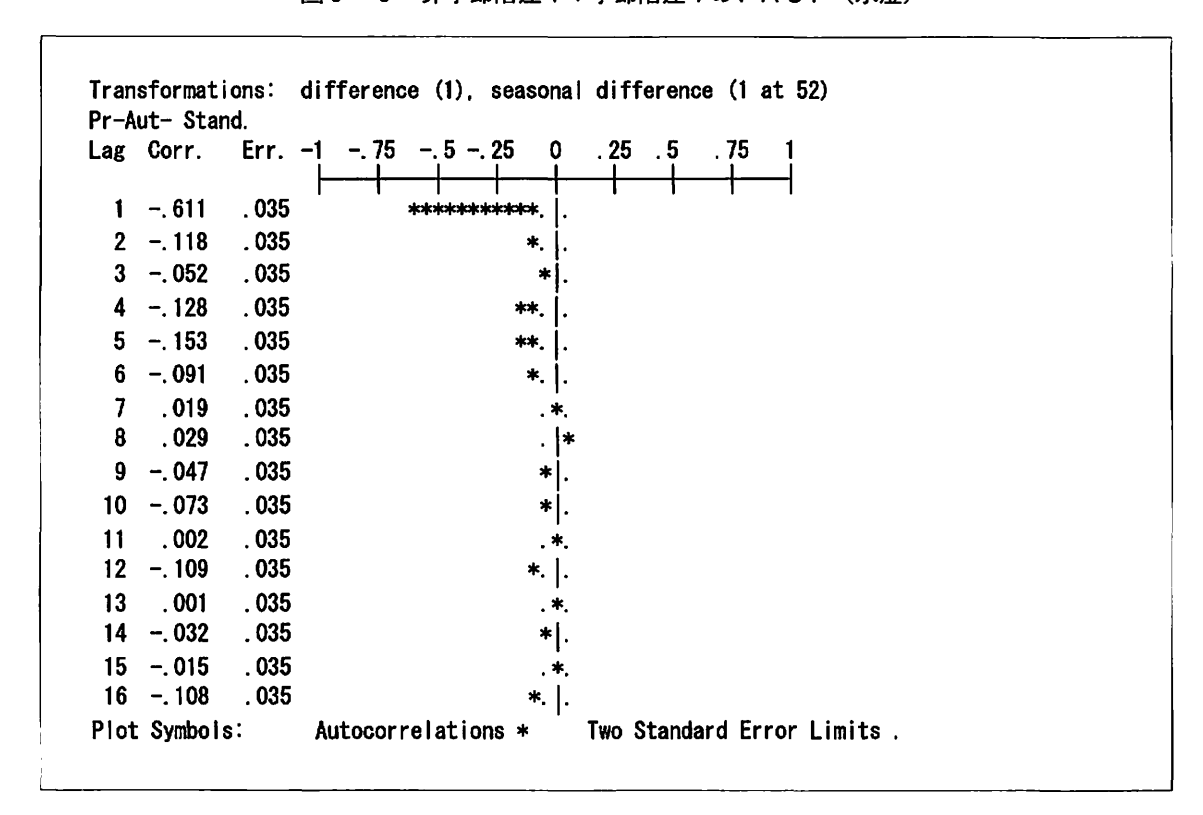


表 3 - 1 周期26の ARIMA モデル同定結果 (水痘)

FINAL PARAM		550000			
Standard e		9598339			
Log likelih		07. 01869			
AIC		26. 0374			
SBC	16	54. 7373			
	Analysis of	Variance:			
	DF Adj.	Sum of Squar	es Residua	al Variance	
Residuals	877	321. 513	66	. 35519620	
	Variables in	the Model:			
	В	SEB	T-RAT10	APPROX. PROB.	
MA1	. 63193101	. 03300221	19. 14814	. 00000000	
MA2	29659486	. 03787103	-7. 83171	. 00000000	
MA3	. 14317867	. 03303262	4. 33446	. 00001630	
SAR1	. 99120350	. 00500613	197. 99787	. 00000000	
SMA1	. 92000594	. 02405107	38, 25218	. 00000000	
CONSTANT	00127569	. 03624764	03519	. 97193337	

表 3 - 2 周期52の ARIMA モデル同定結果 (水痘)

FINAL PARAMETERS: Number of residuals 831 Standard error . 59099707 Log likelihood -767. 52751 1545. 055 AIC 1568, 6682 SBC Analysis of Variance: Residual Variance DF Adj. Sum of Squares Residuals 826 308. 02734 . 34927753 Variables in the Model: SEB T-RATIO APPROX. PROB. В . 00000000 MAI . 71284506 . 03327908 21. 420218 -6. 902840 . 00000000 MA2 -. 27712723 . 04014684 . 19752125 . 03321348 . 00000000 MA3 5. 947021 . 80306407 . 02967219 . 00000000 SMA1 27. 064540 CONSTANT -. 00025871 . 00206897 -. 12504**5** . 90051847

図3-6 モデル診断結果(水痘)

Lag Corr.	Err.	-1 75 5 25 0 . 25 . 5	.75 1 Box-Ljung Prob.
J			+
1 011	. 035	.*.	. 098 . 754
2 . 007	. 035	.*.	. 144 . 931
3 008	. 035	.*.	. 202 . 977
4 . 016	. 035	.*.	. 408 . 982
5 - . 032	. 035	* .	1. 284 . 937
6 002	. 035	.*.	1. 286 . 972
7.087	. 035	. .*	7. 603 . 369
8 071	. 034	* .	11. 897 . 156
9 040	. 034	* j .	13. 262 . 1 51
10 045	. 034	* .	14. 953 . 134
11 076	. 034	*. .	19. 815 . 048
12 111	. 034	*,	30. 314 . 003
13 . 035	. 034	. *	31.342 .003
14 - 032	. 034	* .	32. 211 . 004
15 072	. 034	* .	36, 661 . 001
16 083	. 034	*.	42. 503 . 000
Plot Symbol	s:	Autocorrelations * Two Standar	d Error Limits .

図 3 - 7 観測値とモデル適合値のグラフ表示(水痘:1987年1週~2003年52週)

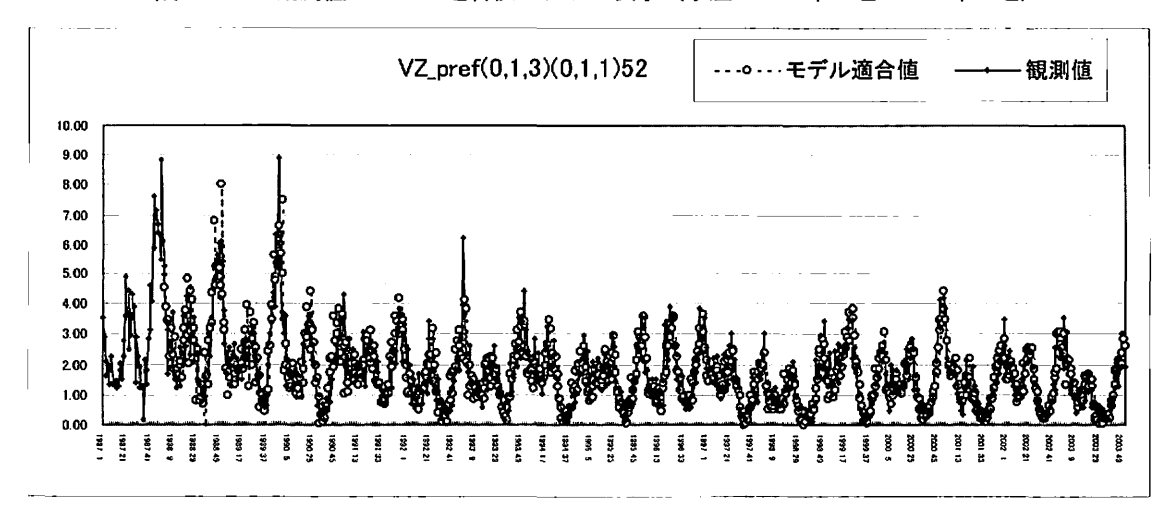


図3-8 観測値・モデル適合値・52週先までの予測値(水痘)

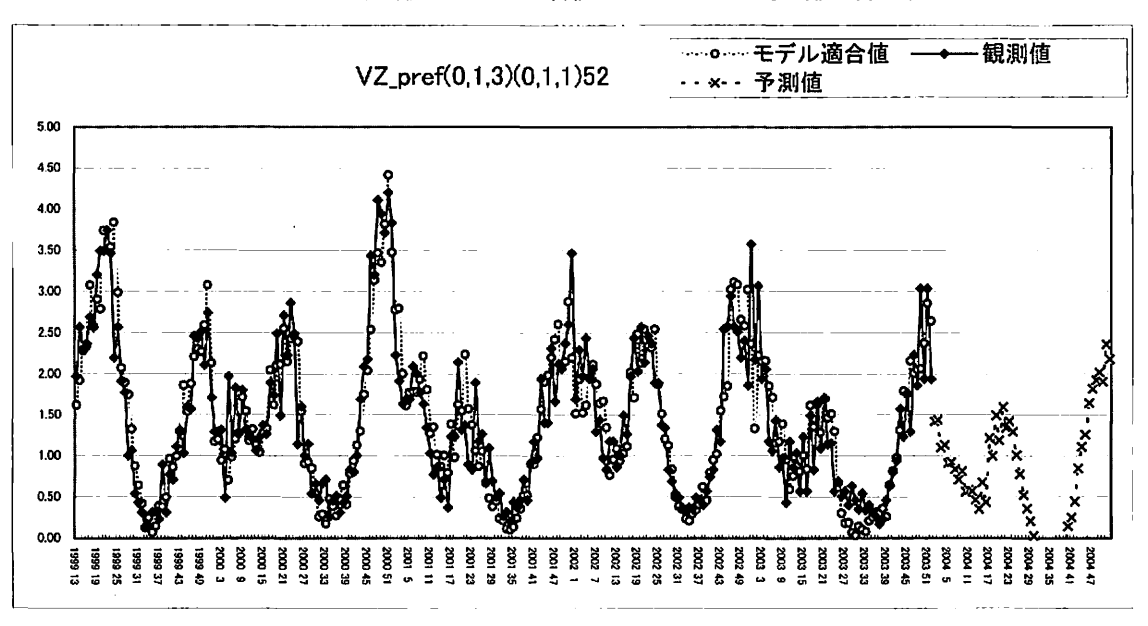


図4-1 ピリオドグラム(手足口病)

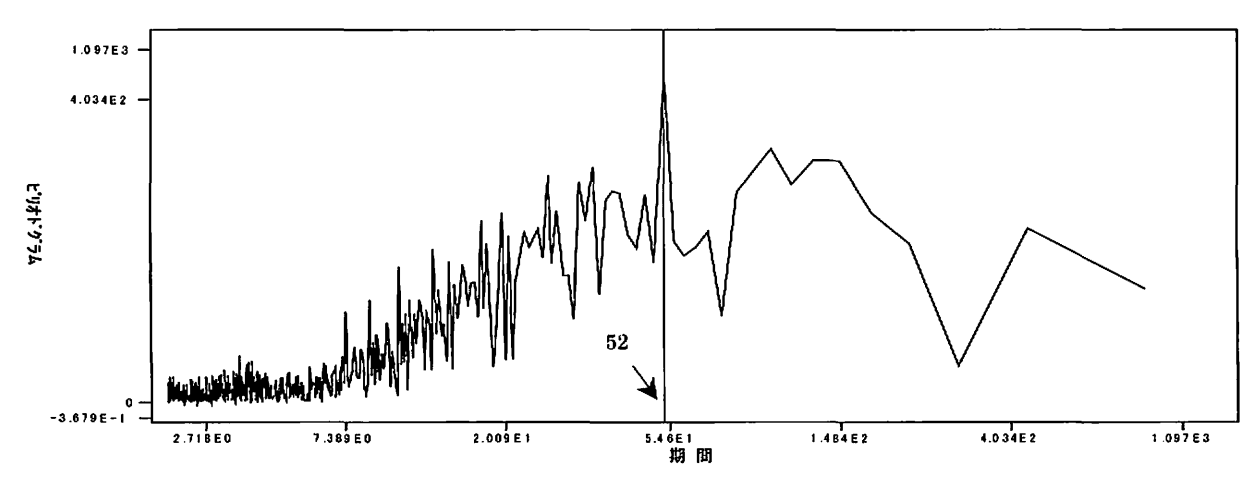


図4-2 ACF(手足口病)

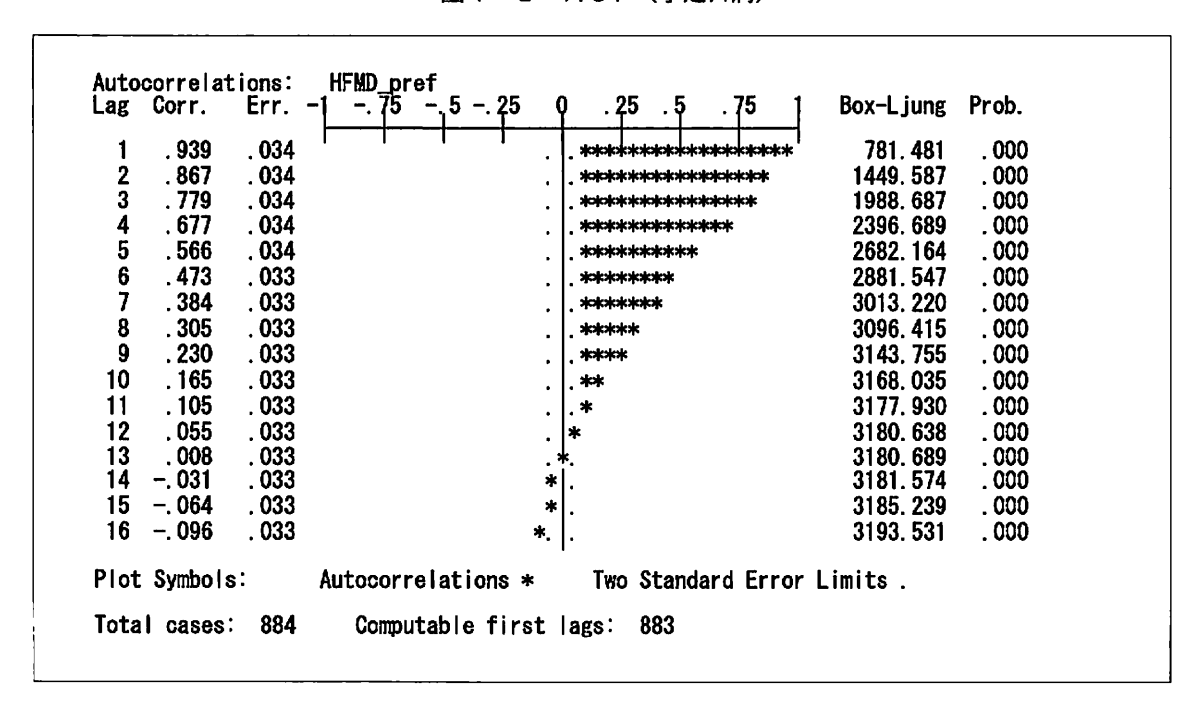


図4-3 PACF (水痘)

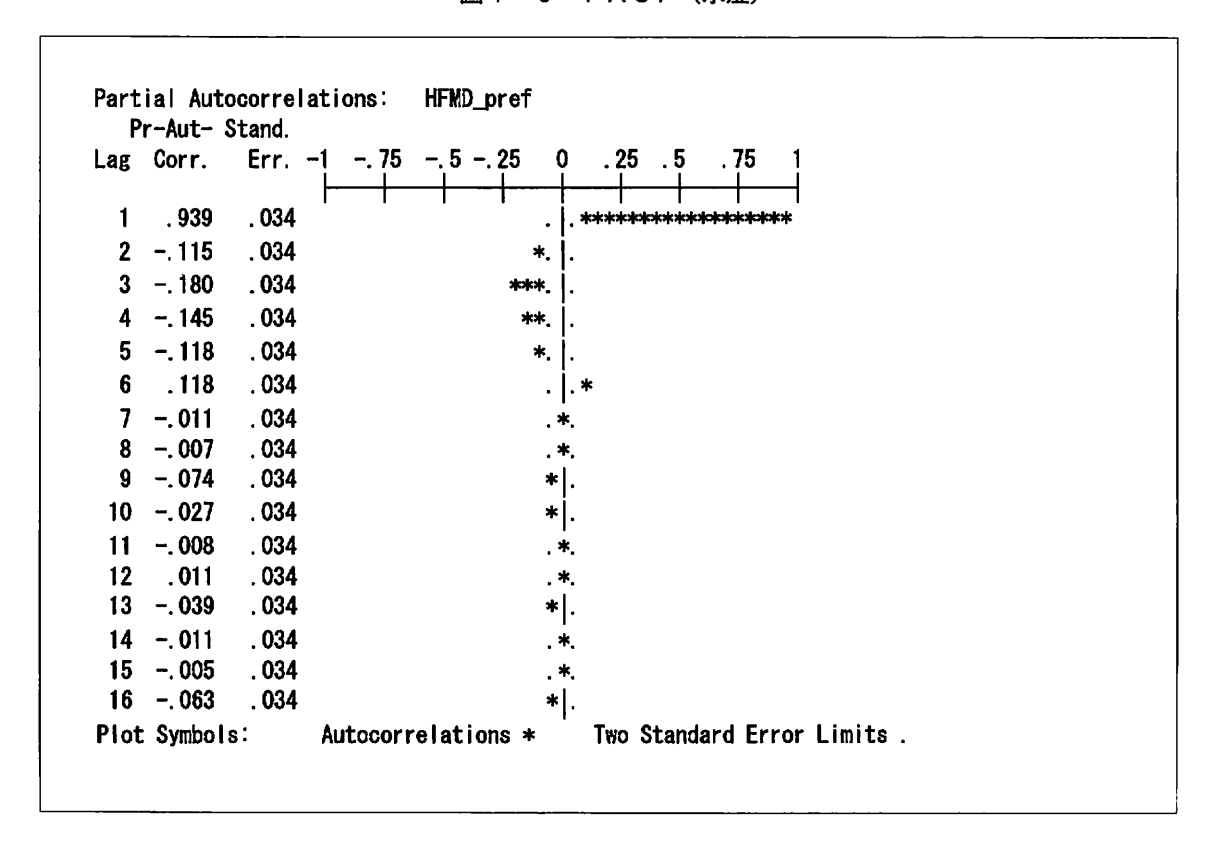


図4-4 非季節階差1のACF(手足口病)

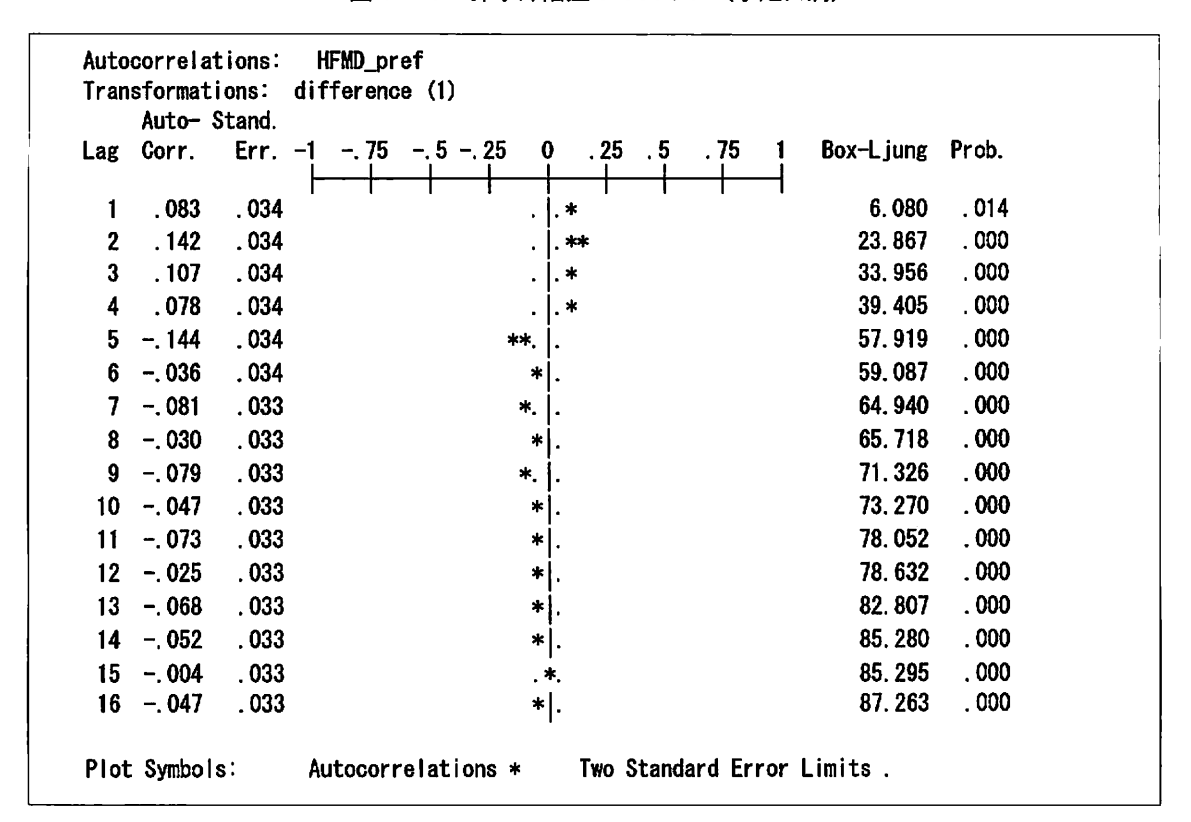


図4-5 非季節階差1のPACF (手足口病)

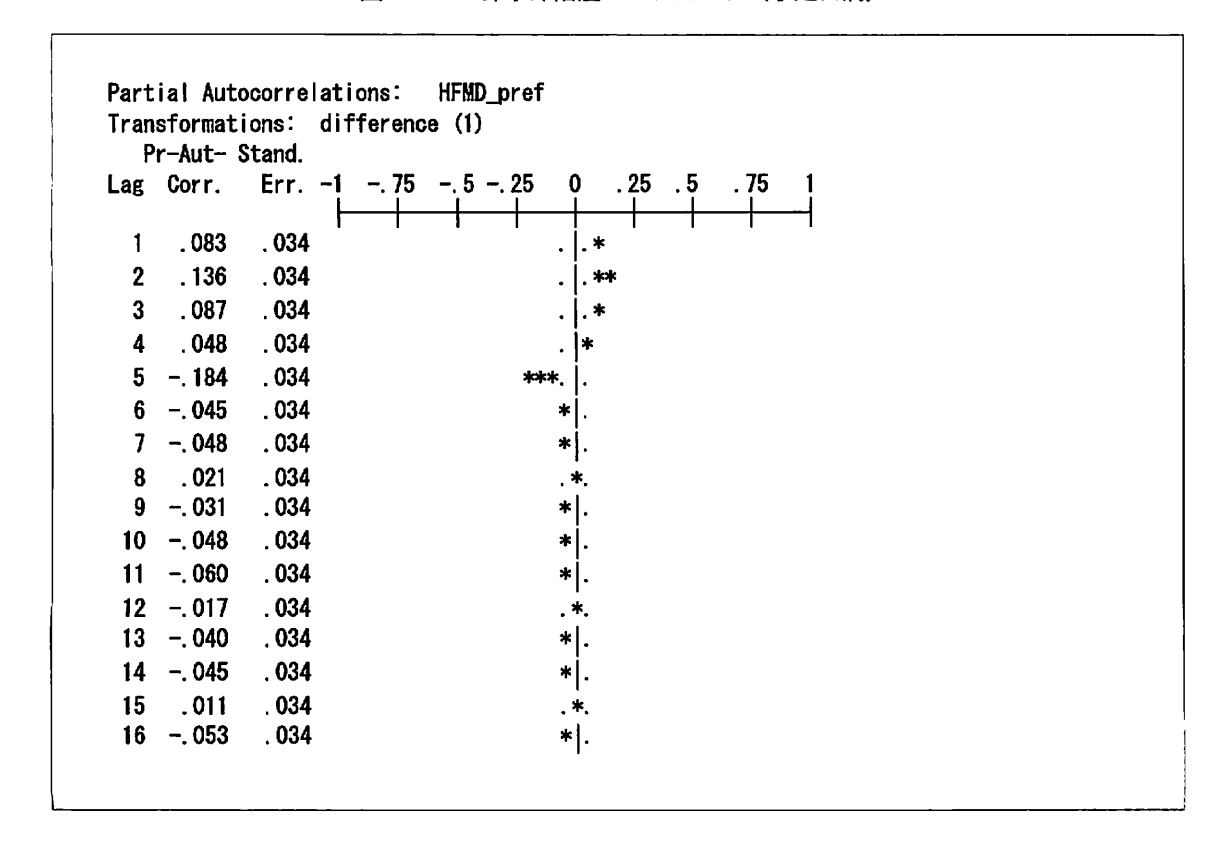


表4-1 モデル同定結果(手足口病)

```
FINAL PARAMETERS:
Number of residuals 883
Standard error
                   . 59527985
Log likelihood
                   -798. 38556
AIC
                    1610. 7711
SBC
                    1644. 2544
           Analysis of Variance:
              DF Adj. Sum of Squares
                                        Residual Variance
             876
                           315. 37577
                                                . 35435810
Residuals
          Variables in the Model:
                                 T-RATIO APPROX. PROB.
                В
                         SEB
                                            . 56656844
       -. 01926268
                                 -. 573330
MA1
                   . 03359789
                   . 03331523
                                               . 00019701
MA2
       -. 12455443
                                -3. 738664
                                              . 00010186
                   . 03328329
MA3
                                -3. 904044
       -. 12993941
                                              . 00379195
MA4
                   . 03328288
                                -2. 902739
       -. 09661151
                                             . 00029242
       . 12159693
                   . 03343723
MA5
                                3. 636573
                                           . 00000000
SAR1
       . 98174045 . 04682565
                                20. 965868
       . 94455053 . 08355490
                               11. 304550
                                              . 00000000
SMA1
```

図4-6 モデル診断結果(手足口病)

Auto	correla	tions:					
	Auto- S	Stand.					
Lag	Corr.	Err1 ⊢	75 5 25 0	. 25 . 5 .	. 75 1	Box-Ljung	Prob.
1	. 002	. 034	1 1 1 1 .* <u>.</u>	1 1	1 1	. 005	. 946
2	. 006	. 034	.*.			. 035	. 982
3	004	. 034	.*.			. 049	. 997
4	006	. 034	.*.	ı		. 080	. 999
	016	. 034	. *.			. 313	. 997
	021	. 034	. *.	ı		. 713	. 994
	070	. 033	* .			5. 117	. 646
	025	. 033	.*.			5. 657	. 686
	066	. 033	* .			9. 568	. 387
	019	. 033	.*.			9. 876	. 451
	059	. 033	* .			13. 012	. 293
	013	. 033	.*.			13. 162	. 357
	051	. 033	* .			15. 459	. 280
	039	. 033	* .			16. 834	. 265
15		. 033	`` ` .*			17. 130	. 311
16	032	. 033	* .	•		18. 054	. 321

図4-7 観測値とモデル適合値のグラフ表示(手足口病)

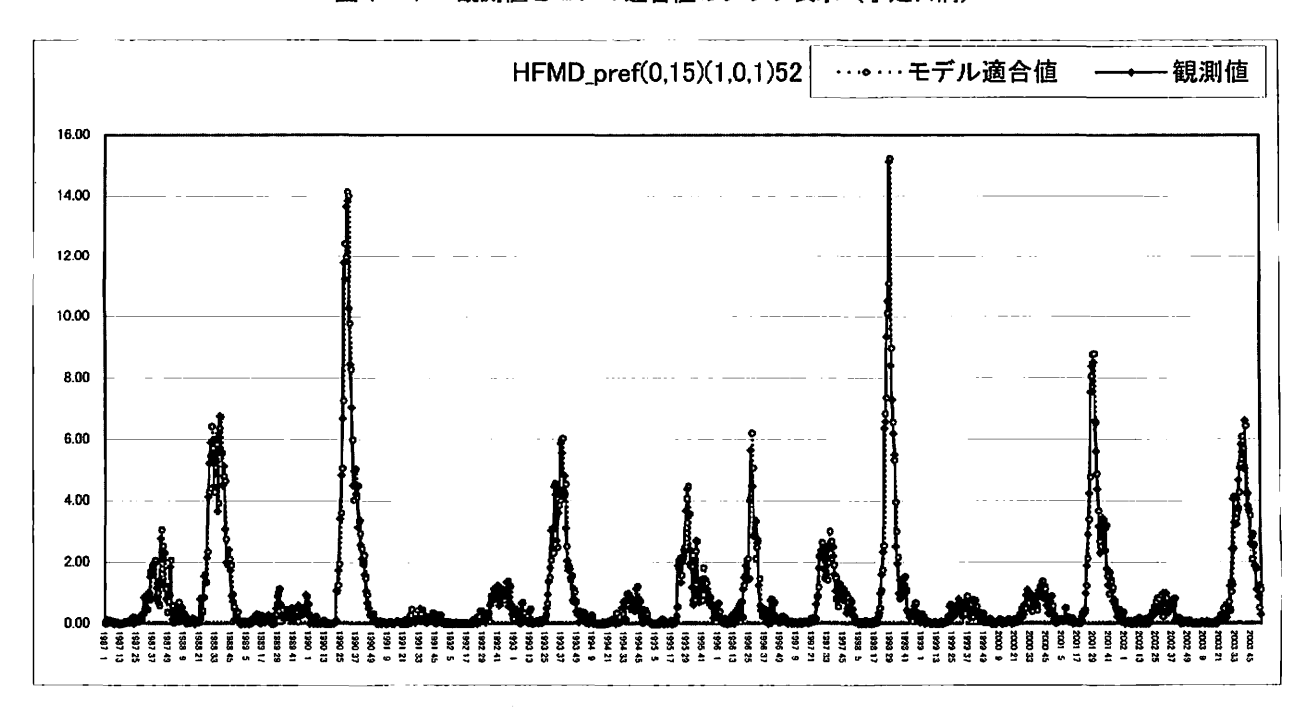


図4-8 観測値・モデル適合値・52週先までの予測値(手足口病)

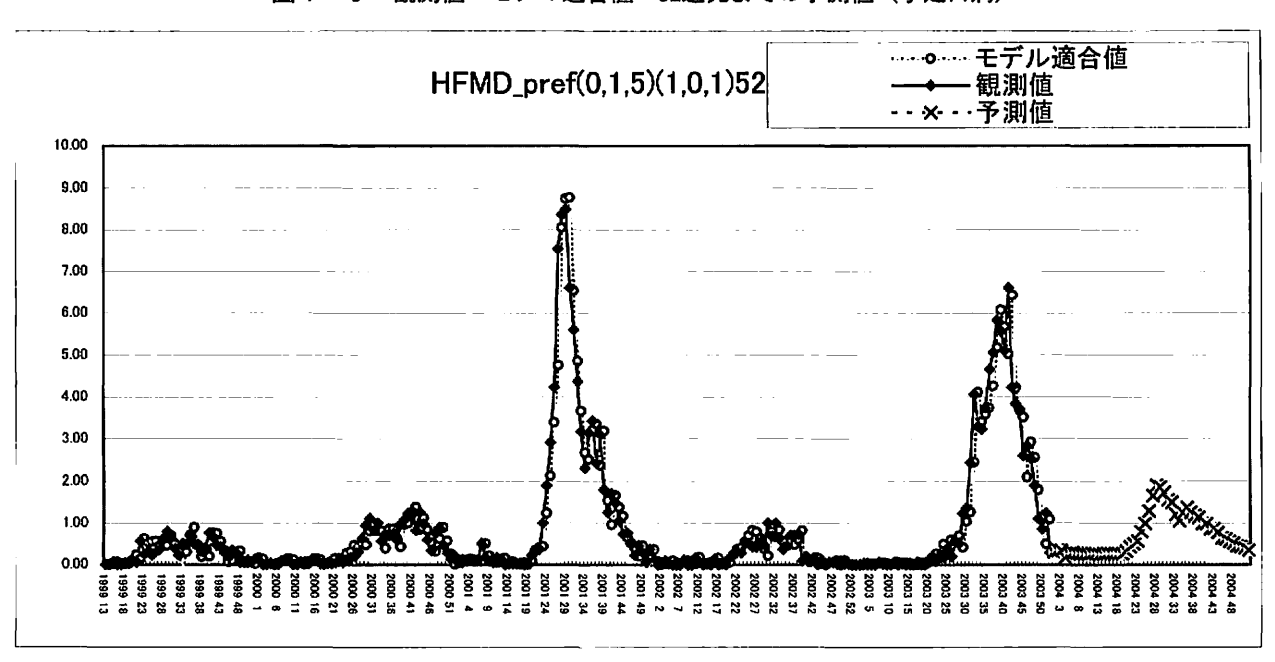


図 5 - 1 ピリオドグラム (流行性耳下腺炎)

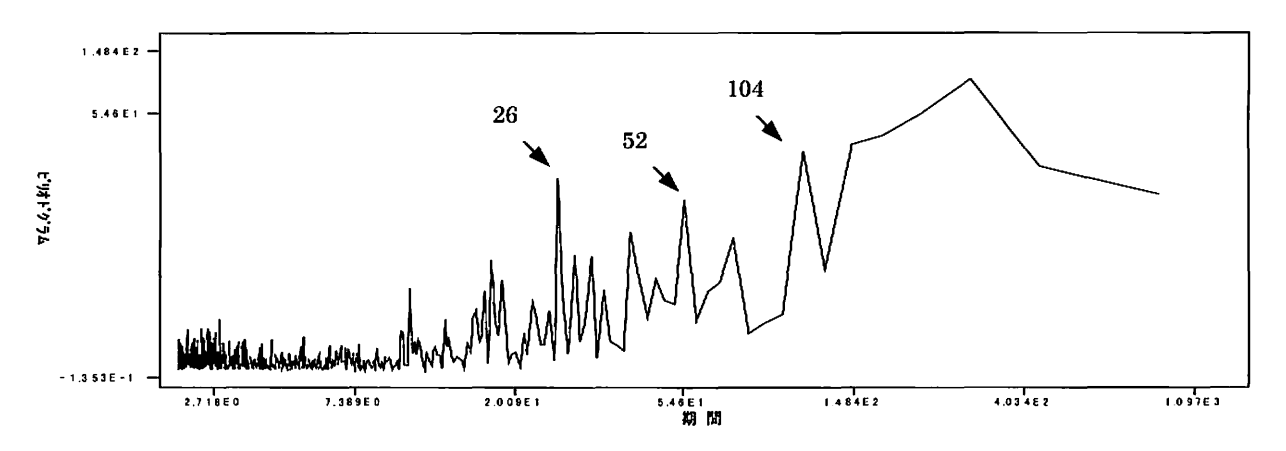


図5-2 ACF(流行性耳下腺炎)

Lag	Corr.	Err.	-] 75	_ ₁ 5 -	·. 25	9.2	5 . 5	•	75 1	Box-Ljung	Prob.	
1	. 817	. 034			1	****	ok***	ok***	:	592. 430	. 000	
2	. 825	. 034				****	**	okskska	k**	1197. 196	. 000	
3	. 785	. 034				****	****	okwko	k*	1744. 746	. 000	
4	. 719	. 034				****	***	***		2204. 253	. 000	
5	. 703	. 034				****	***	c ****		2644. 698	. 000	
6	. 647	. 033				****	***	**		3018. 076	. 000	
7	. 615	. 033				****	***	cjok		3355. 602	. 000	
8	. 583	. 033				****	***	ojok		3659, 580	. 000	
8 9	. 552	. 033				****	***	ok		3932. 811	. 000	
10	. 537	. 033				****	ojojojojoj	ok		4190. 838	. 000	
11	. 515	. 033				****	****	k		4429. 201	. 000	
12	. 491	. 033				****	kykycyc	k		4645. 600	. 000	
13	. 485	. 033				****	****	k		4857. 083	. 000	
14	. 470	. 033				****	***			5055. 571	. 000	
15	. 453	. 033				****	***			5240. 438	. 000	
16	. 446	. 033				, , *ok*o				5419. 979	. 000	
Plot	Symbols	s:	Autocorr	elatio	ns	*'Two S	Standa	ard Ei	ror L	imits .		

図5-3 PACF(流行性耳下腺炎)

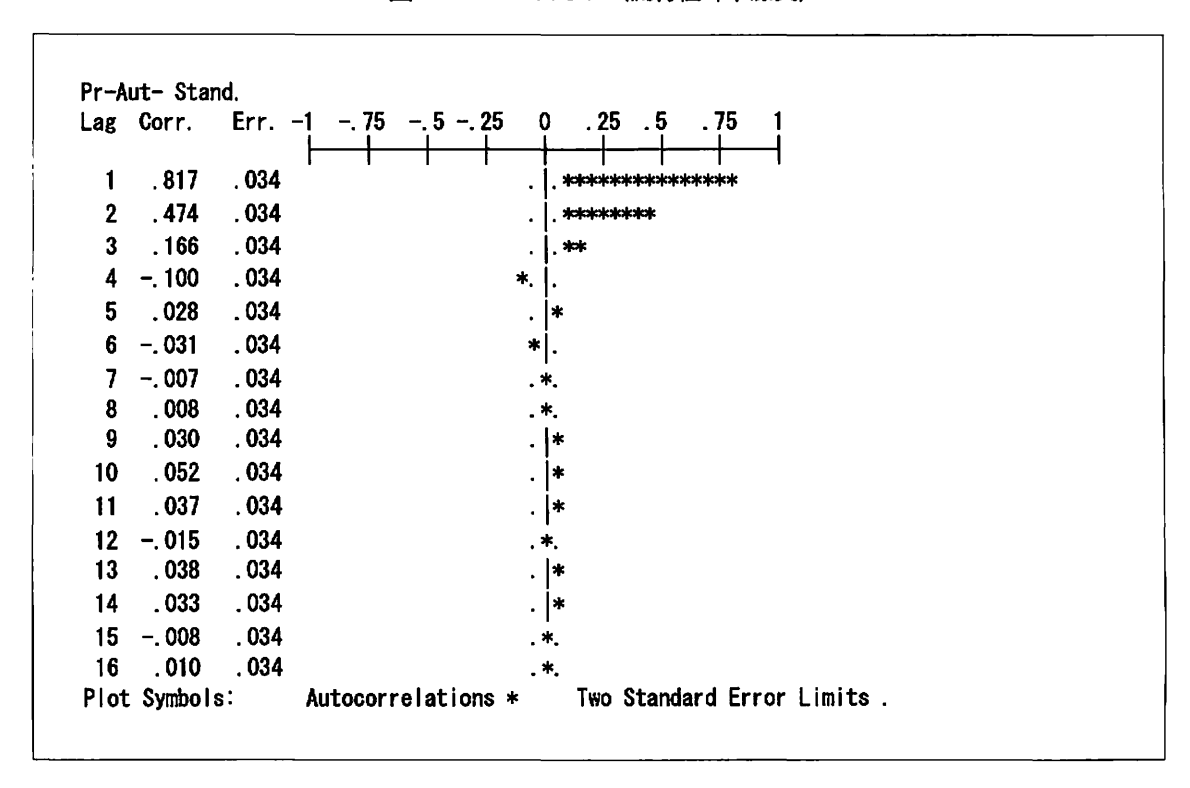


図5-4 非季節性階差1周期26のACF (流行性耳下腺炎)

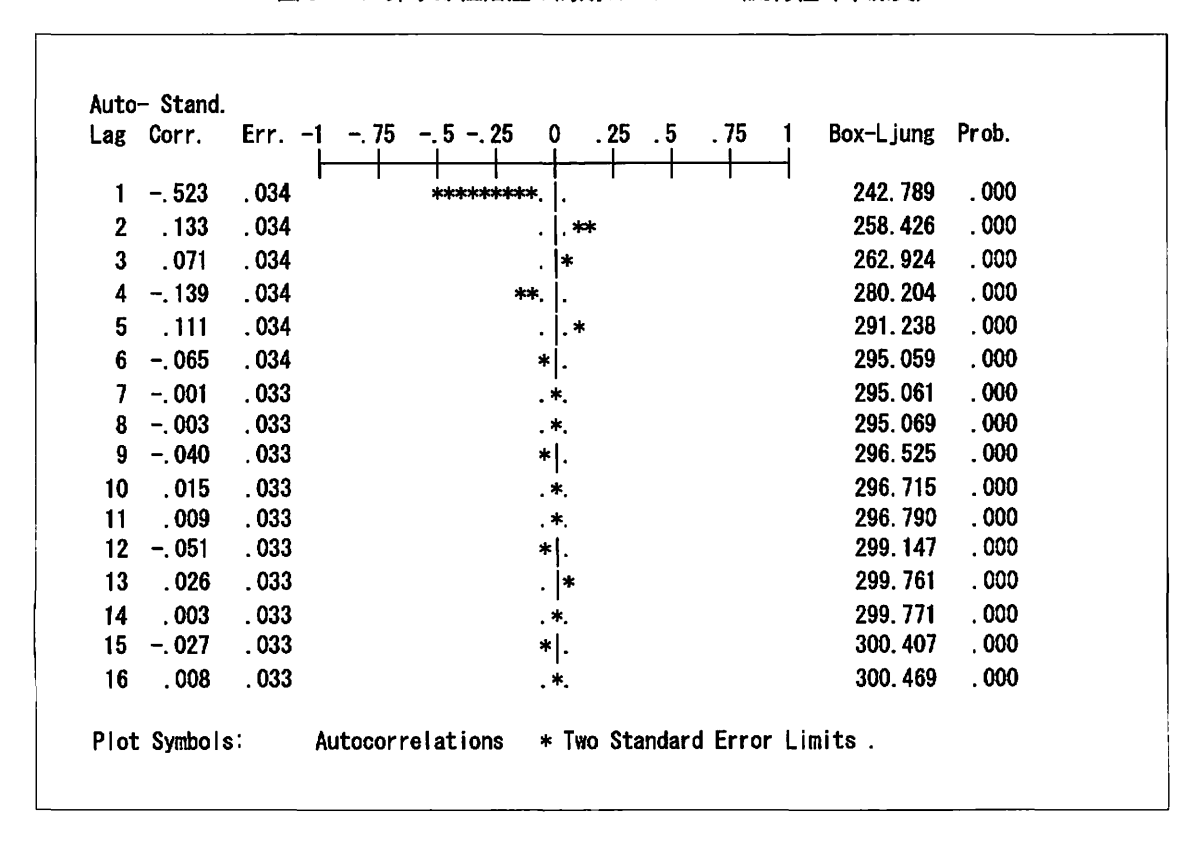


図5-5 非季節性階差1周期26のPACF (流行性耳下腺炎)

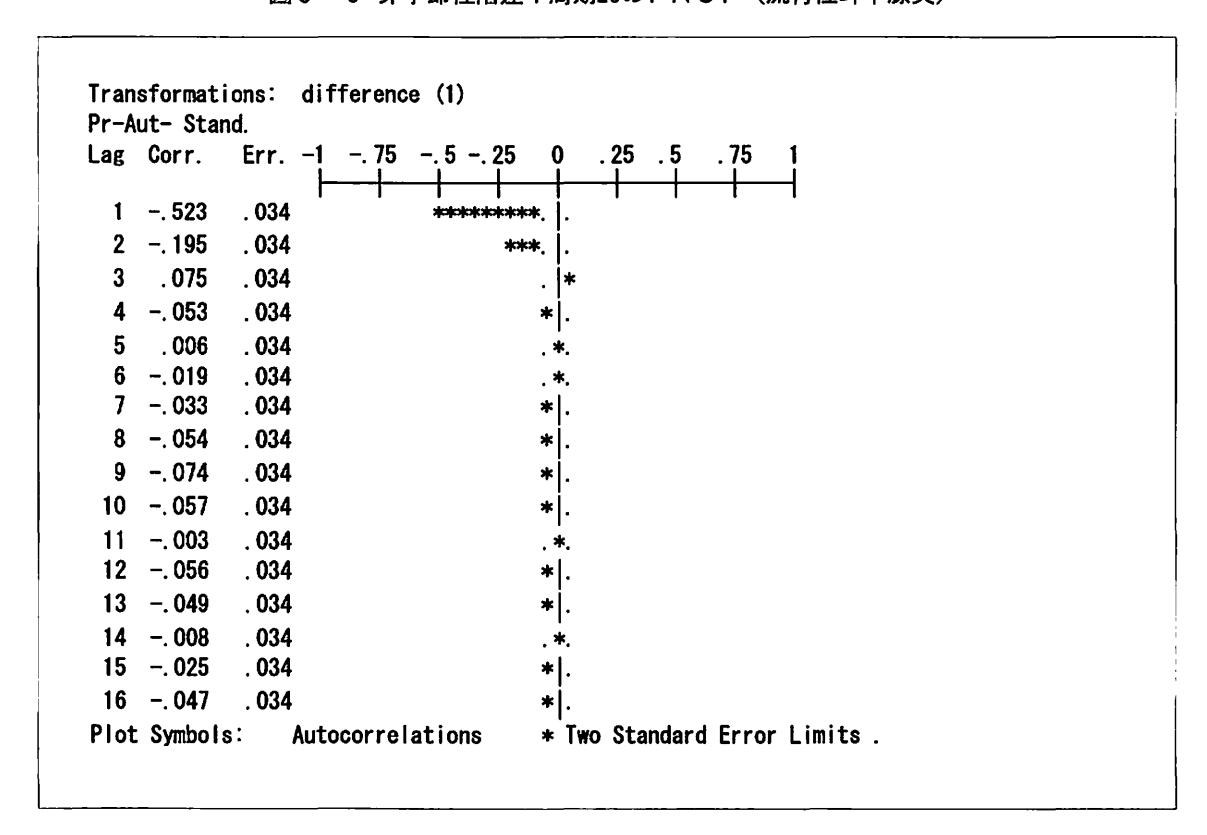


図5-6非季節性階差1周期52のACF(流行性耳下腺炎)

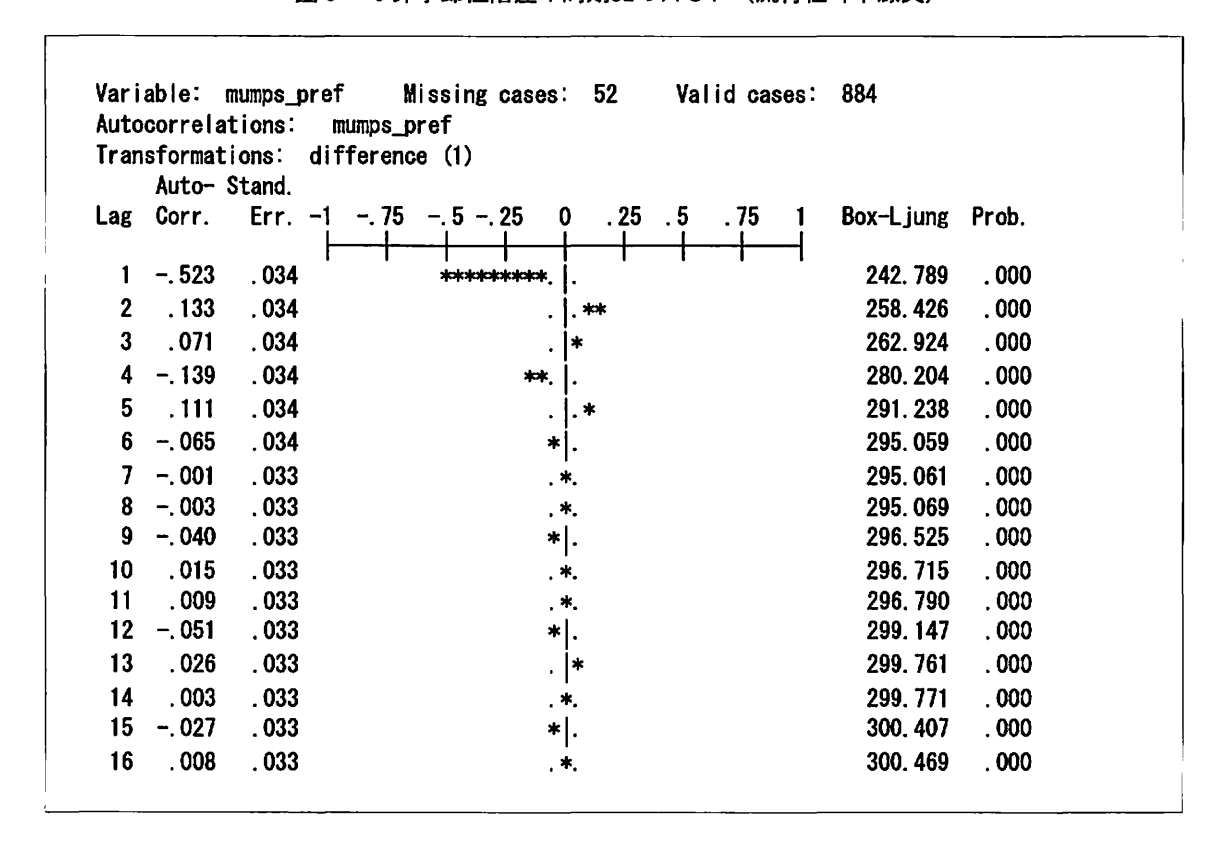


図5-7 非季節性階差1周期52のPACF(流行性耳下腺炎)

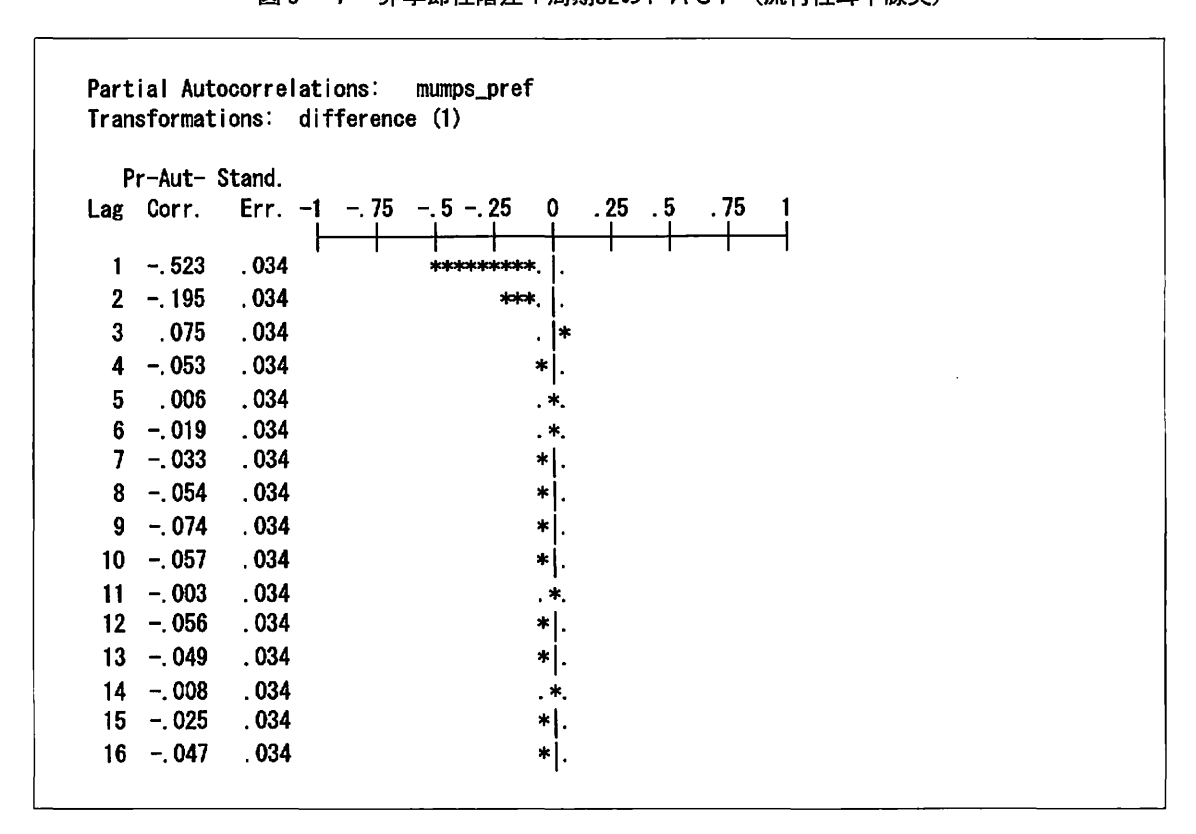


表 5-1 モデル同定:周期26(流行性耳下腺炎)

```
Split group number: 1 Series length: 884
Melard's algorithm will be used for estimation.
FINAL PARAMETERS:
Number of residuals 883
Standard error
                     . 36467419
Log likelihood
                     -363, 65251
                     739.30503
AIC
SBC
                     768.00498
            Analysis of Variance:
                                           Residual Variance
               DF Adj. Sum of Squares
                                                   . 13298727
Residuals
              877
                             117, 81526
           Variables in the Model:
                                SEB
                                         T-RATIO APPROX. PROB.
                     В
            -1.0035574
                        . 12134360
                                       -8. 270378
                                                       .00000000
AR1
             -. 3989905
                        . 06263812
                                       -6. 369772
                                                       .00000000
AR2
                        . 12989946
                                       -2. 922168
                                                       . 00356531
MA1
             -. 3795880
                                                       .00000000
SAR1
              . 9914737
                        . 03703749
                                       26. 769459
                                                       .00000000
SMA1
              . 9705506
                        . 07091077
                                       13. 686928
                                                       . 93985757
CONSTANT
             -. 0008287
                        . 01098039
                                        -. 075471
```

表 5 - 2 モデル同定:周期52(流行性耳下腺炎)

```
Split group number: 1 Series length: 884
Number of cases skipped at end because of missing values: 52
Melard's algorithm will be used for estimation.
FINAL PARAMETERS:
Number of residuals 883
                      . 36183128
Standard error
Log likelihood
                      -358, 53066
AIC
                      729, 06131
SBC
                      757, 76126
            Analysis of Variance:
               DF Adj. Sum of Squares
                                            Residual Variance
Residuals
              877
                              116. 45388
                                                    . 13092187
           Variables in the Model:
                                                    APPROX. PROB.
                     В
                                SEB
                                          T-RATIO
AR1
            -. 95906069
                          . 12235447
                                        -7. 838379
                                                        . 00000000
                                        -5.886237
AR2
             -. 38261036
                         . 06500084
                                                         .00000000
MA1
             -. 31718173
                          . 13077000
                                        -2. 425493
                                                        . 01548851
SAR1
             . 96894276
                          . 05828986
                                        16. 622835
                                                        .00000000
SMA1
             . 91732200
                          . 09223888
                                         9. 945069
                                                        .00000000
CONSTANT
            -. 00099128
                          . 01046143
                                         -. 094756
                                                        . 92453068
```

表5-3 モデル同定:周期104(流行性耳下腺炎)

```
Split group number: 1 Series length: 884
Melard's algorithm will be used for estimation.
FINAL PARAMETERS:
Number of residuals 883
Standard error
                      . 3681176
Log likelihood
                      -368. 54866
AIC
                      749.09732
SBC
                      777. 79727
             Analysis of Variance:
                DF Adj. Sum of Squares
                                            Residual Variance
Residuals
               877
                               119. 12856
                                                    . 13551057
            Variables in the Model:
                                                    APPROX. PROB.
                      В
                                 SEB
                                          T-RATIO
                          . 11962348
AR1
             -1.0444064
                                      -8. 7307814
                                                        . 00000000
AR2
              -. 4122545
                          . 05941290
                                      -6. 9388042
                                                         .00000000
MAI
              -. 4441338
                          . 12815151
                                       -3.4656929
                                                         . 00055453
SAR1
              -. 7167929
                          . 34140350
                                       -2.0995477
                                                         . 03605388
SMA1
              -. 7738868
                          . 32380577
                                       -2. 3899724
                                                         .01705987
CONSTANT
              -. 0008824
                          . 00751205
                                                         . 90652077
                                        -. 1174621
```

図5-8 モデル診断結果(流行性耳下腺炎)

Lag	Corr.	Err.	-175525 0 .25 .5 .7	5 1 Box-Ljung	Prob.
1	005	. 034	.*.	. 020	. 887
2	020	. 034	.*.	. 372	. 830
3	026	. 034	* .	. 971	. 808
4	013	. 034	.*.	1. 117	. 892
5	008	. 034	.*.	1. 180	. 947
	033	. 034	* .	2. 137	. 907
7	028	. 033	* .	2. 854	. 898
8	054	. 033	* .	5. 483	. 705
9	050	. 033	* .	7. 747	. 560
10	015	. 033	,*.	7. 960	. 633
11	021	. 033	.*.	8. 371	. 680
12	053	. 033	* .	10. 906	. 537
13	. 018	. 033	.*.	11. 193	. 595
14	. 015	. 033	. *.	11. 406	
15	026	. 033	* .	12. 004	
16	013	. 033	.*.	12, 145	. 734

図5-9 観測値とモデル適合値のグラフ(流行性耳下腺炎)

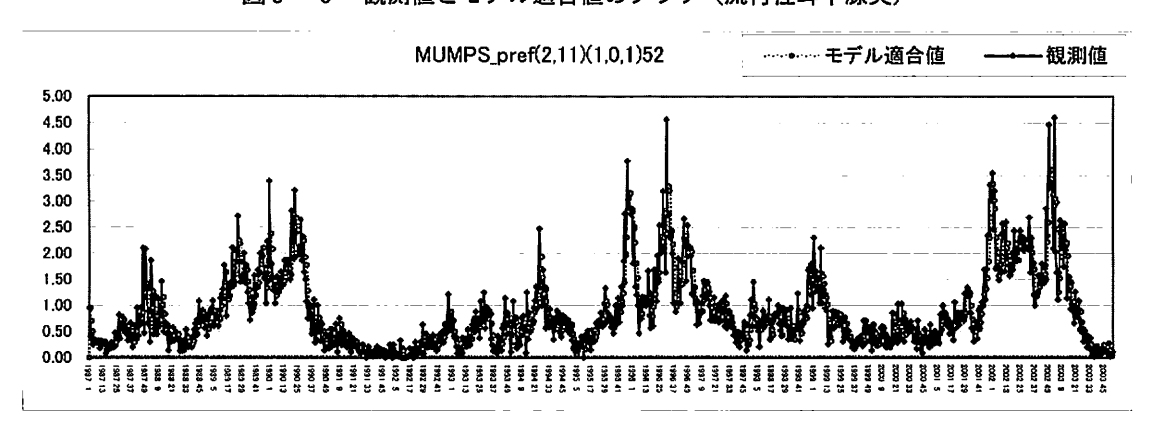


図5-10 観測値とモデル適合値及び52週先までの予測値(流行性耳下腺炎)

